

Registration Report

Project CH NA_16



Cluster Scans



Recording Period 7/13/2016, 2:43:53 PM - 7/17/2016, 2:19:06 PM

Location

Report Date 11/29/2017, 12:00:04 PM

Color Coding

Point Error  < 8 mm  > 20 mm

Overlap  > 25.0 %  < 10.0 %

Overview

Scan Point Statistics

Maximum Point Error	8.8 mm
Mean Point Error	3.4 mm
Minimum Overlap	23.1 %

Scan Errors

Scan Point Statistics

Cluster/Scan	Connections	Max. Point Error [mm]	Mean Point Error [mm]	Min. Overlap
Ch16_NA047	68	6.4	3.1	59.7 %
Ch16_NA048	68	6.3	3.1	56.9 %
Ch16_NA049	68	7.7	3.6	48.1 %
Ch16_NA050	63	6.6	3.7	43.5 %
Ch16_NA051	59	8.8	4.8	54.0 %
Ch16_NA052	49	7.3	3.9	32.0 %
Ch16_NA053	38	5.3	3.2	25.6 %
Ch16_NA054	57	6.8	3.8	35.0 %
Ch16_NA055	57	6.7	3.6	38.1 %
Ch16_NA056	64	8.0	3.7	43.1 %
Ch16_NA057	59	6.1	3.4	45.1 %
Ch16_NA058	68	6.6	3.4	45.8 %
Ch16_NA059	68	6.3	3.4	49.3 %
Ch16_NA060	66	6.8	3.5	45.0 %
Ch16_NA061	54	6.0	3.4	60.6 %
Ch16_NA062	65	6.4	3.6	44.2 %
Ch16_NA063	59	7.0	3.4	38.2 %
Ch16_NA064	62	6.6	3.9	59.8 %
Ch16_NA065	45	5.7	3.9	26.5 %
Ch16_NA066	59	7.1	4.3	42.1 %
Ch16_NA067	38	5.0	3.1	26.5 %
Ch16_NA068	53	6.2	3.5	27.3 %
Ch16_NA000	65	6.6	3.3	31.2 %
Ch16_NA001	65	7.3	3.4	38.5 %
Ch16_NA002	66	6.4	3.4	43.9 %
Ch16_NA003	63	8.0	3.4	41.3 %
Ch16_NA004	66	7.6	3.7	39.6 %
Ch16_NA005	66	7.0	3.6	33.7 %
Ch16_NA006	64	8.1	3.8	28.3 %
Ch16_NA007	64	8.8	4.0	41.0 %
Ch16_NA008	55	6.7	3.4	24.7 %
Ch16_NA009	58	7.7	4.1	42.1 %

Ch16_NA010	54		6.6	3.0	29.4 %
Ch16_NA011	51		5.9	3.3	58.9 %
Ch16_NA012	62		7.2	2.9	43.9 %
Ch16_NA013	53		5.7	3.1	23.1 %
Ch16_NA014	50		6.4	4.1	49.1 %
Ch16_NA015	51		6.6	3.8	52.9 %
Ch16_NA016	55		6.3	3.4	26.1 %
Ch16_NA017	63		7.1	3.5	46.9 %
Ch16_NA018	54		6.8	3.1	28.7 %
Ch16_NA019	62		6.8	3.1	55.3 %
Ch16_NA020	58		5.9	3.0	59.9 %
Ch16_NA021	63		6.2	2.9	45.9 %
Ch16_NA022	65		6.3	3.0	51.6 %
Ch16_NA023	65		6.4	3.4	43.7 %
Ch16_NA024	65		5.9	2.9	46.8 %
Ch16_NA025	66		6.2	2.9	49.2 %
Ch16_NA026	68		5.6	2.8	51.1 %
Ch16_NA027	68		5.9	2.9	53.2 %
Ch16_NA028	65		7.2	3.2	48.2 %
Ch16_NA029	64		5.9	3.4	50.3 %
Ch16_NA030	56		8.1	4.3	23.4 %
Ch16_NA031	67		5.6	3.2	53.6 %
Ch16_NA032	68		5.5	3.0	52.4 %
Ch16_NA033	68		5.5	3.2	50.8 %
Ch16_NA034	68		4.9	2.8	50.3 %
Ch16_NA035	65		5.5	2.8	27.3 %
Ch16_NA036	68		6.0	3.2	51.6 %
Ch16_NA037	62		5.6	3.4	48.0 %
Ch16_NA038	68		5.5	3.1	52.6 %
Ch16_NA039	65		5.0	2.9	23.1 %
Ch16_NA040	68		5.2	2.9	57.4 %
Ch16_NA041	68		5.0	2.9	56.3 %
Ch16_NA042	68		4.8	2.9	57.7 %
Ch16_NA043	68		5.0	2.9	52.1 %
Ch16_NA044	64		6.4	4.1	46.7 %
Ch16_NA045	68		8.1	3.8	42.3 %
Ch16_NA046	68		7.6	3.6	49.4 %

Detailed Errors

Scan Point Statistics

Cluster/Scan 1	Cluster/Scan 2	Point Error [mm]	Overlap
Ch16_NA047	Ch16_NA043	2.0	88.2 %
Ch16_NA047	Ch16_NA039	2.1	87.5 %
Ch16_NA047	Ch16_NA004	4.2	80.9 %
Ch16_NA047	Ch16_NA011	4.1	72.2 %
Ch16_NA047	Ch16_NA013	3.7	77.8 %
Ch16_NA047	Ch16_NA063	2.6	77.4 %
Ch16_NA047	Ch16_NA054	3.1	77.3 %
Ch16_NA048	Ch16_NA047	1.6	96.6 %
Ch16_NA048	Ch16_NA039	1.7	70.5 %
Ch16_NA048	Ch16_NA038	1.7	97.7 %
Ch16_NA048	Ch16_NA040	1.7	96.2 %
Ch16_NA048	Ch16_NA042	2.1	93.0 %
Ch16_NA048	Ch16_NA035	1.9	56.9 %
Ch16_NA048	Ch16_NA041	2.0	81.6 %
Ch16_NA048	Ch16_NA043	2.3	82.3 %
Ch16_NA048	Ch16_NA036	2.1	92.9 %
Ch16_NA048	Ch16_NA034	2.1	69.6 %
Ch16_NA048	Ch16_NA033	2.6	74.5 %
Ch16_NA048	Ch16_NA032	2.7	74.2 %
Ch16_NA048	Ch16_NA026	2.7	78.1 %
Ch16_NA048	Ch16_NA027	2.8	86.0 %
Ch16_NA048	Ch16_NA024	2.8	75.7 %
Ch16_NA048	Ch16_NA025	2.9	85.7 %
Ch16_NA048	Ch16_NA022	2.8	83.6 %
Ch16_NA048	Ch16_NA000	3.6	81.4 %
Ch16_NA048	Ch16_NA019	3.5	83.6 %
Ch16_NA048	Ch16_NA021	3.1	84.5 %
Ch16_NA048	Ch16_NA005	4.1	79.6 %
Ch16_NA048	Ch16_NA002	4.0	79.0 %
Ch16_NA048	Ch16_NA012	3.8	72.7 %
Ch16_NA048	Ch16_NA029	4.1	77.2 %
Ch16_NA048	Ch16_NA003	4.2	79.2 %

Ch16_NA048	Ch16_NA028	3.9	81.4 %
Ch16_NA048	Ch16_NA004	4.4	78.0 %
Ch16_NA048	Ch16_NA001	4.1	78.9 %
Ch16_NA048	Ch16_NA020	3.8	76.1 %
Ch16_NA048	Ch16_NA006	4.6	79.9 %
Ch16_NA048	Ch16_NA007	5.1	64.1 %
Ch16_NA048	Ch16_NA010	4.5	69.2 %
Ch16_NA048	Ch16_NA011	4.7	70.2 %
Ch16_NA048	Ch16_NA059	2.0	91.7 %
Ch16_NA048	Ch16_NA060	2.3	82.0 %
Ch16_NA048	Ch16_NA017	3.6	76.1 %
Ch16_NA048	Ch16_NA018	4.2	78.4 %
Ch16_NA048	Ch16_NA013	4.5	72.5 %
Ch16_NA048	Ch16_NA064	3.0	82.0 %
Ch16_NA048	Ch16_NA058	1.8	93.0 %
Ch16_NA048	Ch16_NA016	3.6	79.1 %
Ch16_NA048	Ch16_NA037	2.8	77.6 %
Ch16_NA048	Ch16_NA008	5.4	68.7 %
Ch16_NA048	Ch16_NA046	2.1	90.5 %
Ch16_NA048	Ch16_NA031	2.9	75.5 %
Ch16_NA048	Ch16_NA023	2.7	85.4 %
Ch16_NA048	Ch16_NA057	1.8	90.7 %
Ch16_NA048	Ch16_NA056	1.9	88.9 %
Ch16_NA048	Ch16_NA063	2.1	81.2 %
Ch16_NA048	Ch16_NA061	2.4	84.7 %
Ch16_NA048	Ch16_NA055	2.2	84.5 %
Ch16_NA048	Ch16_NA054	2.4	81.8 %
Ch16_NA048	Ch16_NA049	1.8	94.6 %
Ch16_NA048	Ch16_NA050	2.0	88.8 %
Ch16_NA048	Ch16_NA051	3.1	79.9 %
Ch16_NA048	Ch16_NA062	2.4	85.0 %
Ch16_NA048	Ch16_NA045	2.2	84.9 %
Ch16_NA048	Ch16_NA044	3.6	77.6 %
Ch16_NA048	Ch16_NA052	2.6	83.1 %
Ch16_NA048	Ch16_NA014	5.5	57.1 %
Ch16_NA048	Ch16_NA015	4.7	76.2 %
Ch16_NA048	Ch16_NA030	6.3	68.9 %
Ch16_NA048	Ch16_NA009	5.9	69.1 %
Ch16_NA048	Ch16_NA068	2.6	70.6 %
Ch16_NA048	Ch16_NA067	3.0	75.3 %

Ch16_NA048	Ch16_NA066	3.6	68.0 %
Ch16_NA048	Ch16_NA053	2.5	76.5 %
Ch16_NA049	Ch16_NA047	1.8	91.4 %
Ch16_NA049	Ch16_NA050	1.4	95.7 %
Ch16_NA049	Ch16_NA046	1.6	93.6 %
Ch16_NA049	Ch16_NA038	2.1	83.6 %
Ch16_NA049	Ch16_NA039	2.3	85.0 %
Ch16_NA049	Ch16_NA056	2.2	91.2 %
Ch16_NA049	Ch16_NA040	2.2	91.7 %
Ch16_NA049	Ch16_NA043	3.0	80.9 %
Ch16_NA049	Ch16_NA041	2.3	90.8 %
Ch16_NA049	Ch16_NA063	2.2	89.7 %
Ch16_NA049	Ch16_NA042	2.6	88.6 %
Ch16_NA049	Ch16_NA054	2.5	80.4 %
Ch16_NA049	Ch16_NA035	2.6	81.9 %
Ch16_NA049	Ch16_NA059	2.8	88.3 %
Ch16_NA049	Ch16_NA034	2.5	62.8 %
Ch16_NA049	Ch16_NA036	2.9	88.8 %
Ch16_NA049	Ch16_NA033	3.7	67.6 %
Ch16_NA049	Ch16_NA023	3.0	82.2 %
Ch16_NA049	Ch16_NA060	3.4	82.6 %
Ch16_NA049	Ch16_NA022	3.2	80.3 %
Ch16_NA049	Ch16_NA025	3.6	81.9 %
Ch16_NA049	Ch16_NA031	4.1	83.5 %
Ch16_NA049	Ch16_NA000	4.4	48.1 %
Ch16_NA049	Ch16_NA016	3.9	67.7 %
Ch16_NA049	Ch16_NA021	3.7	80.9 %
Ch16_NA049	Ch16_NA001	4.5	54.6 %
Ch16_NA049	Ch16_NA017	4.0	72.5 %
Ch16_NA049	Ch16_NA003	4.9	60.3 %
Ch16_NA049	Ch16_NA028	5.0	76.6 %
Ch16_NA049	Ch16_NA005	5.0	53.8 %
Ch16_NA049	Ch16_NA004	5.8	57.4 %
Ch16_NA049	Ch16_NA002	4.7	61.8 %
Ch16_NA049	Ch16_NA020	4.3	70.5 %
Ch16_NA049	Ch16_NA006	5.7	50.6 %
Ch16_NA049	Ch16_NA013	4.5	69.2 %
Ch16_NA049	Ch16_NA008	5.3	69.3 %
Ch16_NA049	Ch16_NA011	5.1	66.8 %

Ch16_NA049	Ch16_NA062	2.6	85.0 %
Ch16_NA049	Ch16_NA045	2.0	87.8 %
Ch16_NA049	Ch16_NA052	2.1	89.0 %
Ch16_NA049	Ch16_NA015	4.5	74.8 %
Ch16_NA049	Ch16_NA030	7.7	66.1 %
Ch16_NA049	Ch16_NA009	6.8	65.6 %
Ch16_NA049	Ch16_NA066	4.2	64.3 %
Ch16_NA049	Ch16_NA053	2.5	81.5 %
Ch16_NA050	Ch16_NA047	2.2	87.5 %
Ch16_NA050	Ch16_NA046	1.9	90.2 %
Ch16_NA050	Ch16_NA056	1.9	86.4 %
Ch16_NA050	Ch16_NA063	2.2	91.9 %
Ch16_NA050	Ch16_NA054	2.2	83.1 %
Ch16_NA050	Ch16_NA038	2.2	91.3 %
Ch16_NA050	Ch16_NA039	2.4	50.4 %
Ch16_NA050	Ch16_NA040	2.7	86.7 %
Ch16_NA050	Ch16_NA042	3.0	83.0 %
Ch16_NA050	Ch16_NA043	3.0	85.1 %
Ch16_NA050	Ch16_NA060	3.5	81.2 %
Ch16_NA050	Ch16_NA035	2.9	43.6 %
Ch16_NA050	Ch16_NA023	3.4	76.4 %
Ch16_NA050	Ch16_NA025	4.2	76.9 %
Ch16_NA050	Ch16_NA031	4.5	80.1 %
Ch16_NA050	Ch16_NA016	4.4	62.2 %
Ch16_NA050	Ch16_NA021	4.3	76.0 %
Ch16_NA050	Ch16_NA017	4.6	67.2 %
Ch16_NA050	Ch16_NA003	5.5	54.9 %
Ch16_NA050	Ch16_NA002	5.2	56.9 %
Ch16_NA050	Ch16_NA028	5.4	71.9 %
Ch16_NA050	Ch16_NA013	5.0	64.3 %
Ch16_NA050	Ch16_NA006	6.3	44.5 %
Ch16_NA050	Ch16_NA001	5.3	49.9 %
Ch16_NA050	Ch16_NA004	6.6	52.4 %
Ch16_NA050	Ch16_NA045	2.7	83.1 %
Ch16_NA050	Ch16_NA015	4.5	70.1 %
Ch16_NA050	Ch16_NA066	3.9	63.8 %
Ch16_NA050	Ch16_NA053	2.2	86.7 %
Ch16_NA051	Ch16_NA047	3.1	75.6 %
Ch16_NA051	Ch16_NA049	2.1	85.2 %

Ch16_NA051	Ch16_NA050	1.7	90.0 %
Ch16_NA051	Ch16_NA052	1.7	93.6 %
Ch16_NA051	Ch16_NA055	2.5	85.7 %
Ch16_NA051	Ch16_NA056	2.7	85.9 %
Ch16_NA051	Ch16_NA046	2.4	78.6 %
Ch16_NA051	Ch16_NA039	3.8	74.1 %
Ch16_NA051	Ch16_NA054	2.7	83.5 %
Ch16_NA051	Ch16_NA063	3.1	79.9 %
Ch16_NA051	Ch16_NA038	3.6	72.2 %
Ch16_NA051	Ch16_NA040	4.0	69.6 %
Ch16_NA051	Ch16_NA061	3.6	80.8 %
Ch16_NA051	Ch16_NA059	3.9	71.7 %
Ch16_NA051	Ch16_NA042	4.4	70.1 %
Ch16_NA051	Ch16_NA035	4.5	70.0 %
Ch16_NA051	Ch16_NA060	4.3	73.7 %
Ch16_NA051	Ch16_NA041	4.4	66.3 %
Ch16_NA051	Ch16_NA043	4.8	66.0 %
Ch16_NA051	Ch16_NA036	4.5	68.5 %
Ch16_NA051	Ch16_NA034	4.8	70.5 %
Ch16_NA051	Ch16_NA016	5.4	62.6 %
Ch16_NA051	Ch16_NA000	6.0	64.5 %
Ch16_NA051	Ch16_NA033	5.2	69.0 %
Ch16_NA051	Ch16_NA023	4.3	67.2 %
Ch16_NA051	Ch16_NA017	5.7	59.8 %
Ch16_NA051	Ch16_NA002	6.4	61.0 %
Ch16_NA051	Ch16_NA022	5.6	63.4 %
Ch16_NA051	Ch16_NA005	7.0	60.6 %
Ch16_NA051	Ch16_NA004	7.6	60.4 %
Ch16_NA051	Ch16_NA024	5.8	60.0 %
Ch16_NA051	Ch16_NA001	7.3	61.4 %
Ch16_NA051	Ch16_NA025	6.2	61.0 %
Ch16_NA051	Ch16_NA031	5.6	63.2 %
Ch16_NA051	Ch16_NA021	6.2	58.7 %
Ch16_NA051	Ch16_NA006	8.1	61.7 %
Ch16_NA051	Ch16_NA028	7.2	59.8 %
Ch16_NA051	Ch16_NA003	8.0	61.3 %
Ch16_NA051	Ch16_NA062	3.4	78.8 %
Ch16_NA051	Ch16_NA045	2.7	74.0 %
Ch16_NA051	Ch16_NA015	5.9	64.3 %

Ch16_NA051	Ch16_NA066	4.6	63.0 %
Ch16_NA051	Ch16_NA053	2.3	84.8 %
Ch16_NA052	Ch16_NA047	2.9	80.1 %
Ch16_NA052	Ch16_NA050	1.9	93.9 %
Ch16_NA052	Ch16_NA054	2.0	90.4 %
Ch16_NA052	Ch16_NA056	1.9	88.9 %
Ch16_NA052	Ch16_NA063	2.5	94.2 %
Ch16_NA052	Ch16_NA039	4.1	32.0 %
Ch16_NA052	Ch16_NA038	2.8	86.9 %
Ch16_NA052	Ch16_NA045	3.3	76.0 %
Ch16_NA052	Ch16_NA046	2.6	83.4 %
Ch16_NA052	Ch16_NA040	3.2	81.0 %
Ch16_NA052	Ch16_NA060	3.8	81.4 %
Ch16_NA052	Ch16_NA042	3.5	76.3 %
Ch16_NA052	Ch16_NA043	3.6	78.4 %
Ch16_NA052	Ch16_NA036	4.0	82.0 %
Ch16_NA052	Ch16_NA034	4.2	54.6 %
Ch16_NA052	Ch16_NA035	4.3	34.7 %
Ch16_NA052	Ch16_NA022	4.5	68.5 %
Ch16_NA052	Ch16_NA033	5.5	56.4 %
Ch16_NA052	Ch16_NA023	3.9	69.7 %
Ch16_NA052	Ch16_NA017	5.2	62.4 %
Ch16_NA052	Ch16_NA000	6.6	37.6 %
Ch16_NA052	Ch16_NA002	5.9	50.7 %
Ch16_NA052	Ch16_NA025	4.8	70.5 %
Ch16_NA052	Ch16_NA004	7.3	45.2 %
Ch16_NA052	Ch16_NA031	5.4	75.5 %
Ch16_NA052	Ch16_NA001	6.5	43.9 %
Ch16_NA052	Ch16_NA066	3.8	65.6 %
Ch16_NA052	Ch16_NA053	1.7	91.1 %
Ch16_NA053	Ch16_NA047	3.0	72.6 %
Ch16_NA053	Ch16_NA054	1.6	93.5 %
Ch16_NA053	Ch16_NA063	2.1	93.9 %
Ch16_NA053	Ch16_NA046	3.1	75.8 %
Ch16_NA053	Ch16_NA045	3.7	69.1 %
Ch16_NA053	Ch16_NA060	3.3	80.7 %
Ch16_NA053	Ch16_NA039	3.8	25.6 %
Ch16_NA053	Ch16_NA038	2.8	81.8 %
Ch16_NA053	Ch16_NA043	3.8	71.4 %

Ch16_NA054	Ch16_NA063	2.0	87.2 %
Ch16_NA054	Ch16_NA039	2.6	40.1 %
Ch16_NA054	Ch16_NA043	3.6	76.4 %
Ch16_NA054	Ch16_NA004	6.1	47.4 %
Ch16_NA055	Ch16_NA047	2.9	80.3 %
Ch16_NA055	Ch16_NA049	2.2	83.3 %
Ch16_NA055	Ch16_NA050	1.9	86.2 %
Ch16_NA055	Ch16_NA052	1.8	92.9 %
Ch16_NA055	Ch16_NA053	1.5	92.9 %
Ch16_NA055	Ch16_NA054	1.4	96.5 %
Ch16_NA055	Ch16_NA056	1.3	97.4 %
Ch16_NA055	Ch16_NA063	1.9	87.8 %
Ch16_NA055	Ch16_NA061	2.1	93.8 %
Ch16_NA055	Ch16_NA039	2.7	45.6 %
Ch16_NA055	Ch16_NA060	3.0	86.7 %
Ch16_NA055	Ch16_NA059	2.8	87.9 %
Ch16_NA055	Ch16_NA046	3.0	82.1 %
Ch16_NA055	Ch16_NA038	2.5	87.9 %
Ch16_NA055	Ch16_NA040	2.9	82.2 %
Ch16_NA055	Ch16_NA036	3.3	84.7 %
Ch16_NA055	Ch16_NA042	3.5	77.9 %
Ch16_NA055	Ch16_NA035	2.9	38.1 %
Ch16_NA055	Ch16_NA041	3.2	80.8 %
Ch16_NA055	Ch16_NA034	3.3	59.9 %
Ch16_NA055	Ch16_NA043	3.6	78.8 %
Ch16_NA055	Ch16_NA000	5.1	41.3 %
Ch16_NA055	Ch16_NA033	4.5	63.4 %
Ch16_NA055	Ch16_NA005	6.0	46.0 %
Ch16_NA055	Ch16_NA002	5.4	55.2 %
Ch16_NA055	Ch16_NA022	4.2	70.4 %
Ch16_NA055	Ch16_NA004	6.3	50.2 %
Ch16_NA055	Ch16_NA024	4.3	73.3 %
Ch16_NA055	Ch16_NA031	4.6	78.0 %
Ch16_NA055	Ch16_NA023	4.1	69.9 %
Ch16_NA055	Ch16_NA017	5.1	63.1 %
Ch16_NA055	Ch16_NA025	4.4	72.4 %
Ch16_NA055	Ch16_NA001	5.5	48.5 %
Ch16_NA055	Ch16_NA003	5.9	52.0 %
Ch16_NA055	Ch16_NA021	4.5	71.0 %
Ch16_NA055	Ch16_NA028	5.5	69.8 %

Ch16_NA055	Ch16_NA006	6.7	39.4 %
Ch16_NA055	Ch16_NA062	2.3	86.3 %
Ch16_NA055	Ch16_NA045	3.6	69.7 %
Ch16_NA055	Ch16_NA066	2.9	73.8 %
Ch16_NA056	Ch16_NA047	2.6	84.8 %
Ch16_NA056	Ch16_NA053	1.7	87.4 %
Ch16_NA056	Ch16_NA054	1.7	94.2 %
Ch16_NA056	Ch16_NA063	1.8	87.2 %
Ch16_NA056	Ch16_NA039	2.4	51.2 %
Ch16_NA056	Ch16_NA060	2.6	89.5 %
Ch16_NA056	Ch16_NA038	2.2	91.3 %
Ch16_NA056	Ch16_NA046	2.8	85.9 %
Ch16_NA056	Ch16_NA035	2.5	43.1 %
Ch16_NA056	Ch16_NA043	3.3	82.9 %
Ch16_NA056	Ch16_NA004	6.0	54.7 %
Ch16_NA056	Ch16_NA001	5.3	52.8 %
Ch16_NA056	Ch16_NA003	5.4	57.0 %
Ch16_NA056	Ch16_NA021	4.2	75.4 %
Ch16_NA056	Ch16_NA006	6.1	44.1 %
Ch16_NA056	Ch16_NA028	5.2	74.2 %
Ch16_NA056	Ch16_NA013	5.3	63.4 %
Ch16_NA056	Ch16_NA045	3.3	71.4 %
Ch16_NA057	Ch16_NA047	2.3	87.3 %
Ch16_NA057	Ch16_NA049	1.8	94.4 %
Ch16_NA057	Ch16_NA050	1.7	92.0 %
Ch16_NA057	Ch16_NA051	2.4	86.9 %
Ch16_NA057	Ch16_NA052	2.0	91.1 %
Ch16_NA057	Ch16_NA053	1.8	85.9 %
Ch16_NA057	Ch16_NA054	2.0	89.6 %
Ch16_NA057	Ch16_NA055	1.5	93.1 %
Ch16_NA057	Ch16_NA056	1.3	96.7 %
Ch16_NA057	Ch16_NA058	1.5	95.4 %
Ch16_NA057	Ch16_NA063	1.9	86.7 %
Ch16_NA057	Ch16_NA061	2.2	90.9 %
Ch16_NA057	Ch16_NA039	2.7	82.0 %
Ch16_NA057	Ch16_NA046	2.5	88.6 %
Ch16_NA057	Ch16_NA038	2.1	92.3 %
Ch16_NA057	Ch16_NA059	2.5	90.1 %
Ch16_NA057	Ch16_NA060	2.8	87.3 %

Ch16_NA057	Ch16_NA040	2.5	88.0 %
Ch16_NA057	Ch16_NA036	2.8	88.9 %
Ch16_NA057	Ch16_NA035	2.5	45.1 %
Ch16_NA057	Ch16_NA042	3.1	83.5 %
Ch16_NA057	Ch16_NA041	2.8	86.4 %
Ch16_NA057	Ch16_NA034	2.9	63.4 %
Ch16_NA057	Ch16_NA043	3.1	84.4 %
Ch16_NA057	Ch16_NA037	3.8	84.9 %
Ch16_NA057	Ch16_NA033	4.0	68.1 %
Ch16_NA057	Ch16_NA064	3.4	82.5 %
Ch16_NA057	Ch16_NA032	4.0	68.7 %
Ch16_NA057	Ch16_NA000	4.6	46.2 %
Ch16_NA057	Ch16_NA027	4.0	79.0 %
Ch16_NA057	Ch16_NA026	3.5	80.9 %
Ch16_NA057	Ch16_NA022	3.8	75.8 %
Ch16_NA057	Ch16_NA023	3.6	75.0 %
Ch16_NA057	Ch16_NA005	5.5	51.6 %
Ch16_NA057	Ch16_NA024	3.9	78.9 %
Ch16_NA057	Ch16_NA031	4.1	82.7 %
Ch16_NA057	Ch16_NA025	4.0	77.8 %
Ch16_NA057	Ch16_NA004	6.1	55.6 %
Ch16_NA057	Ch16_NA002	5.0	60.4 %
Ch16_NA057	Ch16_NA019	4.0	69.9 %
Ch16_NA057	Ch16_NA021	4.1	76.5 %
Ch16_NA057	Ch16_NA028	5.3	74.4 %
Ch16_NA057	Ch16_NA017	4.7	68.0 %
Ch16_NA057	Ch16_NA001	5.1	53.4 %
Ch16_NA057	Ch16_NA029	5.5	72.8 %
Ch16_NA057	Ch16_NA016	4.7	62.8 %
Ch16_NA057	Ch16_NA003	5.4	58.0 %
Ch16_NA057	Ch16_NA012	4.5	73.6 %
Ch16_NA057	Ch16_NA020	4.6	68.8 %
Ch16_NA057	Ch16_NA006	6.1	46.4 %
Ch16_NA057	Ch16_NA007	6.1	57.0 %
Ch16_NA057	Ch16_NA062	2.3	86.6 %
Ch16_NA057	Ch16_NA045	2.9	76.6 %
Ch16_NA057	Ch16_NA044	4.5	72.0 %
Ch16_NA057	Ch16_NA068	2.3	77.1 %
Ch16_NA057	Ch16_NA067	2.9	80.5 %
Ch16_NA057	Ch16_NA066	3.3	71.8 %

Ch16_NA058	Ch16_NA047	2.3	84.6 %
Ch16_NA058	Ch16_NA049	2.1	91.1 %
Ch16_NA058	Ch16_NA050	2.1	90.6 %
Ch16_NA058	Ch16_NA051	3.0	80.2 %
Ch16_NA058	Ch16_NA052	2.4	88.7 %
Ch16_NA058	Ch16_NA053	2.2	86.3 %
Ch16_NA058	Ch16_NA054	2.0	91.1 %
Ch16_NA058	Ch16_NA055	1.8	92.4 %
Ch16_NA058	Ch16_NA056	1.5	96.0 %
Ch16_NA058	Ch16_NA063	1.7	92.7 %
Ch16_NA058	Ch16_NA061	1.8	91.7 %
Ch16_NA058	Ch16_NA039	2.0	63.4 %
Ch16_NA058	Ch16_NA059	1.9	93.3 %
Ch16_NA058	Ch16_NA038	1.8	94.2 %
Ch16_NA058	Ch16_NA060	2.1	89.4 %
Ch16_NA058	Ch16_NA040	2.1	88.8 %
Ch16_NA058	Ch16_NA035	2.0	46.1 %
Ch16_NA058	Ch16_NA036	2.3	90.8 %
Ch16_NA058	Ch16_NA046	2.7	84.6 %
Ch16_NA058	Ch16_NA041	2.4	87.2 %
Ch16_NA058	Ch16_NA034	2.4	64.0 %
Ch16_NA058	Ch16_NA033	3.1	67.3 %
Ch16_NA058	Ch16_NA042	2.7	83.0 %
Ch16_NA058	Ch16_NA043	2.8	84.1 %
Ch16_NA058	Ch16_NA031	3.4	83.7 %
Ch16_NA058	Ch16_NA000	4.2	45.8 %
Ch16_NA058	Ch16_NA005	4.7	50.7 %
Ch16_NA058	Ch16_NA004	5.2	54.7 %
Ch16_NA058	Ch16_NA023	3.5	78.9 %
Ch16_NA058	Ch16_NA002	4.5	59.1 %
Ch16_NA058	Ch16_NA024	3.5	78.3 %
Ch16_NA058	Ch16_NA022	3.7	74.0 %
Ch16_NA058	Ch16_NA025	3.5	76.7 %
Ch16_NA058	Ch16_NA001	4.6	52.6 %
Ch16_NA058	Ch16_NA003	4.8	57.4 %
Ch16_NA058	Ch16_NA028	4.5	73.6 %
Ch16_NA058	Ch16_NA006	5.2	45.9 %
Ch16_NA058	Ch16_NA020	4.4	67.3 %
Ch16_NA058	Ch16_NA021	3.8	75.5 %

Ch16_NA058	Ch16_NA017	4.8	66.2 %
Ch16_NA058	Ch16_NA007	5.5	55.3 %
Ch16_NA058	Ch16_NA016	5.1	61.6 %
Ch16_NA058	Ch16_NA013	5.3	63.1 %
Ch16_NA058	Ch16_NA008	5.2	63.7 %
Ch16_NA058	Ch16_NA011	5.1	60.9 %
Ch16_NA058	Ch16_NA062	1.8	95.2 %
Ch16_NA058	Ch16_NA045	2.9	79.2 %
Ch16_NA058	Ch16_NA015	5.8	71.0 %
Ch16_NA058	Ch16_NA030	6.6	67.5 %
Ch16_NA058	Ch16_NA009	6.4	66.1 %
Ch16_NA058	Ch16_NA066	2.8	70.9 %
Ch16_NA059	Ch16_NA047	2.5	86.6 %
Ch16_NA059	Ch16_NA050	3.0	86.3 %
Ch16_NA059	Ch16_NA052	3.5	84.5 %
Ch16_NA059	Ch16_NA053	3.1	82.0 %
Ch16_NA059	Ch16_NA054	2.9	86.8 %
Ch16_NA059	Ch16_NA056	2.5	91.2 %
Ch16_NA059	Ch16_NA060	1.3	97.2 %
Ch16_NA059	Ch16_NA039	1.9	92.2 %
Ch16_NA059	Ch16_NA036	1.8	93.9 %
Ch16_NA059	Ch16_NA033	2.2	89.3 %
Ch16_NA059	Ch16_NA038	2.0	89.7 %
Ch16_NA059	Ch16_NA035	2.1	87.7 %
Ch16_NA059	Ch16_NA040	2.4	86.9 %
Ch16_NA059	Ch16_NA034	2.3	87.0 %
Ch16_NA059	Ch16_NA042	2.8	85.9 %
Ch16_NA059	Ch16_NA041	2.7	83.8 %
Ch16_NA059	Ch16_NA043	3.1	81.5 %
Ch16_NA059	Ch16_NA005	3.5	76.4 %
Ch16_NA059	Ch16_NA028	3.4	78.3 %
Ch16_NA059	Ch16_NA004	4.0	75.7 %
Ch16_NA059	Ch16_NA002	3.6	76.9 %
Ch16_NA059	Ch16_NA025	3.4	78.5 %
Ch16_NA059	Ch16_NA000	3.7	78.0 %
Ch16_NA059	Ch16_NA003	4.1	77.4 %
Ch16_NA059	Ch16_NA006	3.9	77.1 %
Ch16_NA059	Ch16_NA001	4.5	76.0 %
Ch16_NA059	Ch16_NA022	4.1	79.2 %

Ch16_NA059	Ch16_NA021	4.1	75.2 %
Ch16_NA059	Ch16_NA020	4.8	75.6 %
Ch16_NA059	Ch16_NA011	5.8	66.3 %
Ch16_NA059	Ch16_NA017	4.6	65.3 %
Ch16_NA059	Ch16_NA013	5.7	71.3 %
Ch16_NA059	Ch16_NA016	4.9	77.0 %
Ch16_NA059	Ch16_NA008	5.7	70.0 %
Ch16_NA059	Ch16_NA046	3.2	84.8 %
Ch16_NA059	Ch16_NA031	2.1	88.1 %
Ch16_NA059	Ch16_NA023	4.0	81.8 %
Ch16_NA059	Ch16_NA063	2.1	88.1 %
Ch16_NA059	Ch16_NA062	2.0	94.7 %
Ch16_NA059	Ch16_NA045	3.7	79.9 %
Ch16_NA059	Ch16_NA015	6.1	73.6 %
Ch16_NA059	Ch16_NA030	5.0	76.3 %
Ch16_NA059	Ch16_NA009	5.0	72.8 %
Ch16_NA059	Ch16_NA066	2.5	65.1 %
Ch16_NA060	Ch16_NA047	2.9	78.6 %
Ch16_NA060	Ch16_NA054	3.0	86.5 %
Ch16_NA060	Ch16_NA039	2.2	56.0 %
Ch16_NA060	Ch16_NA038	2.4	90.7 %
Ch16_NA060	Ch16_NA004	4.1	53.9 %
Ch16_NA060	Ch16_NA043	3.2	80.5 %
Ch16_NA060	Ch16_NA011	5.2	58.9 %
Ch16_NA060	Ch16_NA013	5.6	61.5 %
Ch16_NA060	Ch16_NA063	2.3	85.5 %
Ch16_NA061	Ch16_NA047	2.9	77.3 %
Ch16_NA061	Ch16_NA049	2.7	83.3 %
Ch16_NA061	Ch16_NA050	2.7	84.3 %
Ch16_NA061	Ch16_NA052	2.9	87.0 %
Ch16_NA061	Ch16_NA053	2.5	88.0 %
Ch16_NA061	Ch16_NA054	2.2	94.5 %
Ch16_NA061	Ch16_NA056	1.9	95.5 %
Ch16_NA061	Ch16_NA059	2.2	81.2 %
Ch16_NA061	Ch16_NA060	2.1	86.6 %
Ch16_NA061	Ch16_NA063	1.6	91.1 %
Ch16_NA061	Ch16_NA039	2.4	81.0 %
Ch16_NA061	Ch16_NA038	2.3	76.7 %
Ch16_NA061	Ch16_NA036	2.7	75.4 %

Ch16_NA061	Ch16_NA040	2.7	73.3 %
Ch16_NA061	Ch16_NA042	3.2	74.3 %
Ch16_NA061	Ch16_NA046	3.2	76.5 %
Ch16_NA061	Ch16_NA035	2.9	76.6 %
Ch16_NA061	Ch16_NA041	3.1	69.6 %
Ch16_NA061	Ch16_NA033	3.4	78.7 %
Ch16_NA061	Ch16_NA043	3.7	68.8 %
Ch16_NA061	Ch16_NA034	3.2	76.6 %
Ch16_NA061	Ch16_NA005	4.7	68.7 %
Ch16_NA061	Ch16_NA000	4.4	70.2 %
Ch16_NA061	Ch16_NA031	3.5	69.2 %
Ch16_NA061	Ch16_NA022	4.9	69.1 %
Ch16_NA061	Ch16_NA024	4.6	63.6 %
Ch16_NA061	Ch16_NA002	4.6	68.6 %
Ch16_NA061	Ch16_NA004	5.3	67.7 %
Ch16_NA061	Ch16_NA025	4.6	66.0 %
Ch16_NA061	Ch16_NA023	4.5	71.7 %
Ch16_NA061	Ch16_NA028	5.1	65.7 %
Ch16_NA061	Ch16_NA021	5.0	63.2 %
Ch16_NA061	Ch16_NA001	5.6	68.1 %
Ch16_NA061	Ch16_NA006	5.5	69.4 %
Ch16_NA061	Ch16_NA062	1.9	94.8 %
Ch16_NA061	Ch16_NA045	3.6	70.0 %
Ch16_NA061	Ch16_NA066	2.2	76.4 %
Ch16_NA062	Ch16_NA047	3.0	80.6 %
Ch16_NA062	Ch16_NA050	2.7	84.9 %
Ch16_NA062	Ch16_NA052	2.8	85.6 %
Ch16_NA062	Ch16_NA053	2.5	85.5 %
Ch16_NA062	Ch16_NA054	2.3	86.5 %
Ch16_NA062	Ch16_NA056	2.1	87.5 %
Ch16_NA062	Ch16_NA060	2.1	93.9 %
Ch16_NA062	Ch16_NA063	1.6	95.8 %
Ch16_NA062	Ch16_NA039	2.2	58.8 %
Ch16_NA062	Ch16_NA038	2.1	91.5 %
Ch16_NA062	Ch16_NA036	2.4	90.0 %
Ch16_NA062	Ch16_NA035	2.6	44.6 %
Ch16_NA062	Ch16_NA040	2.5	85.5 %
Ch16_NA062	Ch16_NA033	3.3	67.0 %
Ch16_NA062	Ch16_NA041	2.8	84.1 %

Ch16_NA062	Ch16_NA034	3.0	65.0 %
Ch16_NA062	Ch16_NA043	3.1	80.8 %
Ch16_NA062	Ch16_NA042	3.1	80.0 %
Ch16_NA062	Ch16_NA046	3.3	81.1 %
Ch16_NA062	Ch16_NA031	3.7	82.9 %
Ch16_NA062	Ch16_NA005	5.0	49.3 %
Ch16_NA062	Ch16_NA001	4.7	52.5 %
Ch16_NA062	Ch16_NA004	5.1	53.8 %
Ch16_NA062	Ch16_NA003	5.0	56.8 %
Ch16_NA062	Ch16_NA025	3.8	75.3 %
Ch16_NA062	Ch16_NA000	4.6	45.1 %
Ch16_NA062	Ch16_NA022	4.2	72.0 %
Ch16_NA062	Ch16_NA006	5.3	44.2 %
Ch16_NA062	Ch16_NA002	4.8	58.5 %
Ch16_NA062	Ch16_NA028	4.5	72.8 %
Ch16_NA062	Ch16_NA023	4.5	71.3 %
Ch16_NA062	Ch16_NA020	4.7	66.2 %
Ch16_NA062	Ch16_NA021	4.2	73.0 %
Ch16_NA062	Ch16_NA017	5.2	64.8 %
Ch16_NA062	Ch16_NA016	5.5	60.9 %
Ch16_NA062	Ch16_NA008	5.1	62.1 %
Ch16_NA062	Ch16_NA013	5.3	60.9 %
Ch16_NA062	Ch16_NA045	3.9	73.0 %
Ch16_NA062	Ch16_NA030	6.4	65.3 %
Ch16_NA062	Ch16_NA009	5.6	63.3 %
Ch16_NA062	Ch16_NA066	2.4	75.4 %
Ch16_NA063	Ch16_NA039	2.2	53.8 %
Ch16_NA063	Ch16_NA004	5.6	47.5 %
Ch16_NA064	Ch16_NA047	3.9	76.0 %
Ch16_NA064	Ch16_NA049	3.8	78.7 %
Ch16_NA064	Ch16_NA050	3.9	76.5 %
Ch16_NA064	Ch16_NA051	5.2	72.3 %
Ch16_NA064	Ch16_NA052	4.5	75.7 %
Ch16_NA064	Ch16_NA053	4.0	74.3 %
Ch16_NA064	Ch16_NA054	3.5	81.0 %
Ch16_NA064	Ch16_NA055	3.5	81.4 %
Ch16_NA064	Ch16_NA056	3.2	85.1 %
Ch16_NA064	Ch16_NA058	2.8	83.9 %
Ch16_NA064	Ch16_NA059	2.0	86.8 %

Ch16_NA064	Ch16_NA060	1.7	94.1 %
Ch16_NA064	Ch16_NA061	2.4	84.8 %
Ch16_NA064	Ch16_NA062	2.6	88.4 %
Ch16_NA064	Ch16_NA063	2.9	79.2 %
Ch16_NA064	Ch16_NA039	2.6	84.6 %
Ch16_NA064	Ch16_NA036	2.6	80.7 %
Ch16_NA064	Ch16_NA033	3.0	81.4 %
Ch16_NA064	Ch16_NA038	3.0	76.4 %
Ch16_NA064	Ch16_NA032	3.2	78.9 %
Ch16_NA064	Ch16_NA040	3.4	74.5 %
Ch16_NA064	Ch16_NA041	3.6	71.5 %
Ch16_NA064	Ch16_NA034	3.4	77.8 %
Ch16_NA064	Ch16_NA035	3.2	77.9 %
Ch16_NA064	Ch16_NA042	3.9	75.3 %
Ch16_NA064	Ch16_NA043	4.0	70.4 %
Ch16_NA064	Ch16_NA007	4.6	67.0 %
Ch16_NA064	Ch16_NA005	4.5	68.8 %
Ch16_NA064	Ch16_NA006	4.4	69.0 %
Ch16_NA064	Ch16_NA028	4.1	68.7 %
Ch16_NA064	Ch16_NA004	4.9	67.5 %
Ch16_NA064	Ch16_NA025	4.5	69.0 %
Ch16_NA064	Ch16_NA002	4.9	68.6 %
Ch16_NA064	Ch16_NA003	4.8	69.5 %
Ch16_NA064	Ch16_NA001	5.0	68.9 %
Ch16_NA064	Ch16_NA024	5.0	66.1 %
Ch16_NA064	Ch16_NA022	5.2	70.5 %
Ch16_NA064	Ch16_NA000	5.5	69.1 %
Ch16_NA064	Ch16_NA012	5.2	63.4 %
Ch16_NA064	Ch16_NA017	6.0	65.7 %
Ch16_NA064	Ch16_NA021	5.2	65.4 %
Ch16_NA064	Ch16_NA019	5.5	74.8 %
Ch16_NA064	Ch16_NA020	5.9	68.3 %
Ch16_NA064	Ch16_NA010	6.6	60.1 %
Ch16_NA064	Ch16_NA008	6.5	59.8 %
Ch16_NA064	Ch16_NA046	4.6	73.5 %
Ch16_NA064	Ch16_NA031	2.7	77.9 %
Ch16_NA064	Ch16_NA023	5.4	72.4 %
Ch16_NA064	Ch16_NA045	5.4	67.8 %
Ch16_NA064	Ch16_NA030	5.0	67.3 %
Ch16_NA064	Ch16_NA009	5.1	63.3 %

Ch16_NA064	Ch16_NA066	2.2	73.8 %
Ch16_NA065	Ch16_NA047	4.5	69.7 %
Ch16_NA065	Ch16_NA048	4.0	73.4 %
Ch16_NA065	Ch16_NA049	4.5	73.0 %
Ch16_NA065	Ch16_NA050	4.6	73.0 %
Ch16_NA065	Ch16_NA051	5.4	67.7 %
Ch16_NA065	Ch16_NA052	4.8	66.8 %
Ch16_NA065	Ch16_NA053	4.0	68.6 %
Ch16_NA065	Ch16_NA054	3.8	76.7 %
Ch16_NA065	Ch16_NA055	3.7	75.4 %
Ch16_NA065	Ch16_NA056	3.5	75.8 %
Ch16_NA065	Ch16_NA057	3.8	74.6 %
Ch16_NA065	Ch16_NA058	3.2	81.7 %
Ch16_NA065	Ch16_NA059	2.6	87.6 %
Ch16_NA065	Ch16_NA060	2.2	91.0 %
Ch16_NA065	Ch16_NA061	3.2	81.8 %
Ch16_NA065	Ch16_NA062	3.2	86.2 %
Ch16_NA065	Ch16_NA063	3.1	83.7 %
Ch16_NA065	Ch16_NA064	2.4	87.6 %
Ch16_NA065	Ch16_NA066	2.3	80.8 %
Ch16_NA065	Ch16_NA044	2.5	80.2 %
Ch16_NA065	Ch16_NA067	2.6	84.7 %
Ch16_NA065	Ch16_NA037	2.8	83.8 %
Ch16_NA065	Ch16_NA068	2.8	88.4 %
Ch16_NA065	Ch16_NA036	3.2	81.8 %
Ch16_NA065	Ch16_NA039	4.5	26.5 %
Ch16_NA065	Ch16_NA038	3.8	80.1 %
Ch16_NA065	Ch16_NA040	4.0	74.2 %
Ch16_NA065	Ch16_NA031	3.1	76.4 %
Ch16_NA065	Ch16_NA033	4.0	56.2 %
Ch16_NA065	Ch16_NA032	3.9	58.1 %
Ch16_NA065	Ch16_NA042	4.6	70.1 %
Ch16_NA065	Ch16_NA041	4.2	73.1 %
Ch16_NA065	Ch16_NA034	4.0	54.8 %
Ch16_NA065	Ch16_NA046	4.8	69.9 %
Ch16_NA065	Ch16_NA004	5.0	46.1 %
Ch16_NA065	Ch16_NA043	4.7	70.0 %
Ch16_NA065	Ch16_NA027	4.1	68.9 %
Ch16_NA065	Ch16_NA005	5.6	39.7 %

Ch16_NA065	Ch16_NA002	5.3	50.1 %
Ch16_NA065	Ch16_NA029	4.1	65.0 %
Ch16_NA065	Ch16_NA009	4.6	53.4 %
Ch16_NA065	Ch16_NA026	4.5	69.4 %
Ch16_NA065	Ch16_NA045	5.7	63.2 %
Ch16_NA065	Ch16_NA028	4.6	65.4 %
Ch16_NA065	Ch16_NA025	4.8	66.7 %
Ch16_NA066	Ch16_NA047	4.5	60.2 %
Ch16_NA066	Ch16_NA053	3.1	66.6 %
Ch16_NA066	Ch16_NA054	2.7	75.0 %
Ch16_NA066	Ch16_NA056	2.8	76.1 %
Ch16_NA066	Ch16_NA060	2.1	74.0 %
Ch16_NA066	Ch16_NA063	2.6	68.2 %
Ch16_NA066	Ch16_NA039	3.5	73.6 %
Ch16_NA066	Ch16_NA038	3.7	61.5 %
Ch16_NA066	Ch16_NA040	4.2	59.6 %
Ch16_NA066	Ch16_NA042	4.6	57.7 %
Ch16_NA066	Ch16_NA031	3.6	53.7 %
Ch16_NA066	Ch16_NA035	4.0	63.1 %
Ch16_NA066	Ch16_NA043	5.0	52.1 %
Ch16_NA066	Ch16_NA004	5.8	51.1 %
Ch16_NA066	Ch16_NA002	5.2	52.4 %
Ch16_NA066	Ch16_NA006	5.7	52.1 %
Ch16_NA066	Ch16_NA009	5.5	42.1 %
Ch16_NA066	Ch16_NA046	5.1	57.8 %
Ch16_NA066	Ch16_NA003	6.0	53.0 %
Ch16_NA066	Ch16_NA028	5.2	48.2 %
Ch16_NA066	Ch16_NA025	5.6	49.2 %
Ch16_NA066	Ch16_NA045	5.8	52.0 %
Ch16_NA066	Ch16_NA001	6.3	52.1 %
Ch16_NA066	Ch16_NA021	6.2	45.9 %
Ch16_NA066	Ch16_NA023	6.4	54.4 %
Ch16_NA066	Ch16_NA017	7.1	46.9 %
Ch16_NA066	Ch16_NA030	6.7	44.2 %
Ch16_NA067	Ch16_NA047	3.6	70.9 %
Ch16_NA067	Ch16_NA049	3.4	76.7 %
Ch16_NA067	Ch16_NA050	3.2	78.1 %
Ch16_NA067	Ch16_NA051	3.9	74.0 %
Ch16_NA067	Ch16_NA052	3.6	75.2 %
Ch16_NA067	Ch16_NA053	2.7	79.0 %

Ch16_NA067	Ch16_NA054	2.1	86.3 %
Ch16_NA067	Ch16_NA055	2.4	83.9 %
Ch16_NA067	Ch16_NA056	2.5	82.7 %
Ch16_NA067	Ch16_NA058	2.4	84.3 %
Ch16_NA067	Ch16_NA059	2.3	83.8 %
Ch16_NA067	Ch16_NA060	2.2	86.0 %
Ch16_NA067	Ch16_NA061	1.9	87.3 %
Ch16_NA067	Ch16_NA062	2.2	87.6 %
Ch16_NA067	Ch16_NA063	2.2	89.3 %
Ch16_NA067	Ch16_NA064	2.4	80.7 %
Ch16_NA067	Ch16_NA066	1.6	84.6 %
Ch16_NA067	Ch16_NA068	1.7	84.8 %
Ch16_NA067	Ch16_NA036	2.8	78.0 %
Ch16_NA067	Ch16_NA044	4.0	72.2 %
Ch16_NA067	Ch16_NA038	2.9	79.6 %
Ch16_NA067	Ch16_NA039	2.9	26.5 %
Ch16_NA067	Ch16_NA040	3.1	73.5 %
Ch16_NA067	Ch16_NA042	4.0	70.2 %
Ch16_NA067	Ch16_NA041	3.4	72.1 %
Ch16_NA067	Ch16_NA046	4.0	71.7 %
Ch16_NA067	Ch16_NA033	3.7	55.5 %
Ch16_NA067	Ch16_NA032	3.8	57.9 %
Ch16_NA067	Ch16_NA043	3.9	70.3 %
Ch16_NA067	Ch16_NA034	3.5	55.5 %
Ch16_NA067	Ch16_NA031	3.6	70.9 %
Ch16_NA067	Ch16_NA045	5.0	64.4 %
Ch16_NA067	Ch16_NA026	3.9	67.7 %
Ch16_NA068	Ch16_NA047	3.3	66.6 %
Ch16_NA068	Ch16_NA049	2.9	73.9 %
Ch16_NA068	Ch16_NA050	2.8	76.5 %
Ch16_NA068	Ch16_NA051	3.4	73.1 %
Ch16_NA068	Ch16_NA052	3.0	74.9 %
Ch16_NA068	Ch16_NA053	2.1	91.0 %
Ch16_NA068	Ch16_NA054	1.8	85.2 %
Ch16_NA068	Ch16_NA055	1.9	81.9 %
Ch16_NA068	Ch16_NA056	1.9	79.3 %
Ch16_NA068	Ch16_NA058	1.9	81.9 %
Ch16_NA068	Ch16_NA059	2.5	80.9 %
Ch16_NA068	Ch16_NA060	2.5	81.7 %

Ch16_NA068	Ch16_NA061	1.6	85.1 %
Ch16_NA068	Ch16_NA062	1.9	84.8 %
Ch16_NA068	Ch16_NA063	1.8	89.9 %
Ch16_NA068	Ch16_NA064	2.8	75.7 %
Ch16_NA068	Ch16_NA066	1.9	72.4 %
Ch16_NA068	Ch16_NA038	2.6	78.0 %
Ch16_NA068	Ch16_NA039	2.5	33.7 %
Ch16_NA068	Ch16_NA036	3.1	74.9 %
Ch16_NA068	Ch16_NA040	2.9	70.5 %
Ch16_NA068	Ch16_NA041	3.2	69.2 %
Ch16_NA068	Ch16_NA042	3.8	65.7 %
Ch16_NA068	Ch16_NA043	3.7	67.1 %
Ch16_NA068	Ch16_NA034	3.4	50.3 %
Ch16_NA068	Ch16_NA033	3.9	50.8 %
Ch16_NA068	Ch16_NA046	3.8	69.0 %
Ch16_NA068	Ch16_NA032	4.0	52.4 %
Ch16_NA068	Ch16_NA035	3.1	27.3 %
Ch16_NA068	Ch16_NA045	4.7	62.0 %
Ch16_NA068	Ch16_NA005	5.8	33.7 %
Ch16_NA068	Ch16_NA004	5.1	39.6 %
Ch16_NA068	Ch16_NA031	4.1	67.8 %
Ch16_NA068	Ch16_NA002	4.7	43.9 %
Ch16_NA068	Ch16_NA025	4.3	60.9 %
Ch16_NA068	Ch16_NA024	4.3	61.8 %
Ch16_NA068	Ch16_NA000	5.3	31.2 %
Ch16_NA068	Ch16_NA009	5.8	42.4 %
Ch16_NA068	Ch16_NA022	4.6	58.7 %
Ch16_NA068	Ch16_NA028	4.8	58.4 %
Ch16_NA068	Ch16_NA001	5.1	38.5 %
Ch16_NA068	Ch16_NA006	6.2	28.3 %
Ch16_NA068	Ch16_NA007	5.0	41.0 %
Ch16_NA068	Ch16_NA003	5.4	41.3 %
Ch16_NA000	Ch16_NA047	3.0	84.4 %
Ch16_NA000	Ch16_NA050	5.1	43.5 %
Ch16_NA000	Ch16_NA054	5.4	38.4 %
Ch16_NA000	Ch16_NA056	4.7	45.3 %
Ch16_NA000	Ch16_NA060	3.9	45.7 %
Ch16_NA000	Ch16_NA063	4.6	39.5 %
Ch16_NA000	Ch16_NA066	5.8	52.6 %

Ch16_NA000	Ch16_NA001	2.1	89.6 %
Ch16_NA000	Ch16_NA002	1.7	83.4 %
Ch16_NA000	Ch16_NA003	1.8	84.1 %
Ch16_NA000	Ch16_NA004	2.1	84.6 %
Ch16_NA000	Ch16_NA006	2.4	86.5 %
Ch16_NA000	Ch16_NA025	2.0	67.4 %
Ch16_NA000	Ch16_NA021	2.2	94.3 %
Ch16_NA000	Ch16_NA028	2.1	65.7 %
Ch16_NA000	Ch16_NA043	2.4	62.7 %
Ch16_NA000	Ch16_NA042	2.4	88.8 %
Ch16_NA000	Ch16_NA040	2.8	63.2 %
Ch16_NA000	Ch16_NA039	3.1	76.7 %
Ch16_NA000	Ch16_NA035	2.9	76.2 %
Ch16_NA000	Ch16_NA033	2.9	68.0 %
Ch16_NA000	Ch16_NA038	3.4	56.8 %
Ch16_NA000	Ch16_NA011	2.6	85.2 %
Ch16_NA000	Ch16_NA017	2.4	87.8 %
Ch16_NA000	Ch16_NA013	2.5	59.7 %
Ch16_NA000	Ch16_NA016	2.9	59.3 %
Ch16_NA000	Ch16_NA046	3.8	49.4 %
Ch16_NA000	Ch16_NA031	2.8	53.6 %
Ch16_NA000	Ch16_NA023	2.9	58.1 %
Ch16_NA000	Ch16_NA045	4.2	48.8 %
Ch16_NA000	Ch16_NA015	4.3	59.8 %
Ch16_NA000	Ch16_NA030	3.9	59.9 %
Ch16_NA000	Ch16_NA009	3.2	63.8 %
Ch16_NA001	Ch16_NA047	3.7	81.4 %
Ch16_NA001	Ch16_NA054	5.4	46.3 %
Ch16_NA001	Ch16_NA060	4.5	52.5 %
Ch16_NA001	Ch16_NA063	5.0	46.0 %
Ch16_NA001	Ch16_NA004	2.0	94.5 %
Ch16_NA001	Ch16_NA003	1.9	91.1 %
Ch16_NA001	Ch16_NA028	2.2	71.8 %
Ch16_NA001	Ch16_NA043	2.7	59.8 %
Ch16_NA001	Ch16_NA039	3.8	74.6 %
Ch16_NA001	Ch16_NA035	3.2	77.6 %
Ch16_NA001	Ch16_NA038	3.9	54.0 %
Ch16_NA001	Ch16_NA011	2.2	87.7 %
Ch16_NA001	Ch16_NA013	2.1	65.2 %

Ch16_NA001	Ch16_NA046	4.3	54.9 %
Ch16_NA002	Ch16_NA047	3.6	81.8 %
Ch16_NA002	Ch16_NA054	5.4	52.9 %
Ch16_NA002	Ch16_NA056	5.1	60.1 %
Ch16_NA002	Ch16_NA060	4.1	58.5 %
Ch16_NA002	Ch16_NA063	5.0	52.0 %
Ch16_NA002	Ch16_NA001	2.0	90.8 %
Ch16_NA002	Ch16_NA003	1.5	97.3 %
Ch16_NA002	Ch16_NA004	1.8	94.8 %
Ch16_NA002	Ch16_NA006	2.0	96.3 %
Ch16_NA002	Ch16_NA028	1.8	77.7 %
Ch16_NA002	Ch16_NA025	2.1	73.3 %
Ch16_NA002	Ch16_NA021	2.3	92.7 %
Ch16_NA002	Ch16_NA042	2.5	86.4 %
Ch16_NA002	Ch16_NA043	2.9	65.2 %
Ch16_NA002	Ch16_NA039	3.7	74.5 %
Ch16_NA002	Ch16_NA040	3.3	64.2 %
Ch16_NA002	Ch16_NA035	3.3	77.9 %
Ch16_NA002	Ch16_NA038	3.9	58.9 %
Ch16_NA002	Ch16_NA011	2.3	86.7 %
Ch16_NA002	Ch16_NA017	2.7	85.5 %
Ch16_NA002	Ch16_NA013	2.9	71.0 %
Ch16_NA002	Ch16_NA046	4.3	61.6 %
Ch16_NA002	Ch16_NA031	3.0	63.5 %
Ch16_NA002	Ch16_NA023	3.7	70.2 %
Ch16_NA002	Ch16_NA045	4.2	59.7 %
Ch16_NA002	Ch16_NA015	4.5	70.7 %
Ch16_NA002	Ch16_NA030	3.3	74.1 %
Ch16_NA003	Ch16_NA047	3.9	81.8 %
Ch16_NA003	Ch16_NA054	5.8	49.5 %
Ch16_NA003	Ch16_NA060	4.4	56.9 %
Ch16_NA003	Ch16_NA063	5.2	49.9 %
Ch16_NA003	Ch16_NA004	1.9	93.5 %
Ch16_NA003	Ch16_NA043	2.6	65.3 %
Ch16_NA003	Ch16_NA039	3.6	76.7 %
Ch16_NA003	Ch16_NA038	4.0	57.9 %
Ch16_NA003	Ch16_NA011	2.4	85.4 %
Ch16_NA003	Ch16_NA013	2.5	70.4 %
Ch16_NA004	Ch16_NA039	4.1	73.5 %

Ch16_NA004	Ch16_NA011	2.3	86.6 %
Ch16_NA004	Ch16_NA013	2.7	67.3 %
Ch16_NA005	Ch16_NA047	3.8	82.3 %
Ch16_NA005	Ch16_NA050	5.7	48.8 %
Ch16_NA005	Ch16_NA052	6.7	41.4 %
Ch16_NA005	Ch16_NA054	6.3	42.3 %
Ch16_NA005	Ch16_NA056	5.5	50.3 %
Ch16_NA005	Ch16_NA060	3.8	49.3 %
Ch16_NA005	Ch16_NA063	5.4	43.2 %
Ch16_NA005	Ch16_NA066	5.2	52.0 %
Ch16_NA005	Ch16_NA000	2.2	94.5 %
Ch16_NA005	Ch16_NA001	2.2	91.6 %
Ch16_NA005	Ch16_NA002	1.9	92.0 %
Ch16_NA005	Ch16_NA003	1.9	92.7 %
Ch16_NA005	Ch16_NA004	1.7	94.4 %
Ch16_NA005	Ch16_NA006	1.5	98.3 %
Ch16_NA005	Ch16_NA028	1.9	73.5 %
Ch16_NA005	Ch16_NA025	2.3	68.4 %
Ch16_NA005	Ch16_NA021	2.4	91.5 %
Ch16_NA005	Ch16_NA022	2.9	68.2 %
Ch16_NA005	Ch16_NA020	2.5	76.2 %
Ch16_NA005	Ch16_NA042	2.7	86.6 %
Ch16_NA005	Ch16_NA034	2.8	74.6 %
Ch16_NA005	Ch16_NA043	2.9	62.2 %
Ch16_NA005	Ch16_NA033	2.8	74.2 %
Ch16_NA005	Ch16_NA040	3.4	62.2 %
Ch16_NA005	Ch16_NA036	3.3	55.2 %
Ch16_NA005	Ch16_NA039	3.6	76.0 %
Ch16_NA005	Ch16_NA035	3.2	78.4 %
Ch16_NA005	Ch16_NA038	4.0	56.7 %
Ch16_NA005	Ch16_NA011	2.5	83.5 %
Ch16_NA005	Ch16_NA017	3.1	83.4 %
Ch16_NA005	Ch16_NA013	3.4	65.8 %
Ch16_NA005	Ch16_NA016	4.1	66.0 %
Ch16_NA005	Ch16_NA008	2.2	70.5 %
Ch16_NA005	Ch16_NA046	4.6	54.8 %
Ch16_NA005	Ch16_NA031	2.5	57.7 %
Ch16_NA005	Ch16_NA023	3.9	64.7 %
Ch16_NA005	Ch16_NA045	4.7	53.1 %

Ch16_NA005	Ch16_NA015	5.0	65.4 %
Ch16_NA005	Ch16_NA030	2.8	69.9 %
Ch16_NA005	Ch16_NA009	2.3	74.0 %
Ch16_NA006	Ch16_NA047	4.5	82.1 %
Ch16_NA006	Ch16_NA054	6.8	36.1 %
Ch16_NA006	Ch16_NA060	4.1	45.0 %
Ch16_NA006	Ch16_NA063	5.9	38.3 %
Ch16_NA006	Ch16_NA001	2.1	91.2 %
Ch16_NA006	Ch16_NA003	1.9	97.6 %
Ch16_NA006	Ch16_NA004	1.9	94.7 %
Ch16_NA006	Ch16_NA028	2.0	71.0 %
Ch16_NA006	Ch16_NA021	2.4	91.8 %
Ch16_NA006	Ch16_NA043	3.4	62.7 %
Ch16_NA006	Ch16_NA035	3.5	77.7 %
Ch16_NA006	Ch16_NA039	3.9	75.3 %
Ch16_NA006	Ch16_NA038	4.4	55.0 %
Ch16_NA006	Ch16_NA011	2.6	84.3 %
Ch16_NA006	Ch16_NA013	3.1	65.3 %
Ch16_NA006	Ch16_NA046	5.7	52.9 %
Ch16_NA006	Ch16_NA045	6.1	52.2 %
Ch16_NA007	Ch16_NA047	4.9	80.8 %
Ch16_NA007	Ch16_NA049	5.8	58.4 %
Ch16_NA007	Ch16_NA050	6.3	53.6 %
Ch16_NA007	Ch16_NA051	8.8	58.8 %
Ch16_NA007	Ch16_NA054	5.9	49.6 %
Ch16_NA007	Ch16_NA055	6.1	52.2 %
Ch16_NA007	Ch16_NA056	6.0	56.8 %
Ch16_NA007	Ch16_NA059	4.5	75.2 %
Ch16_NA007	Ch16_NA060	4.6	54.3 %
Ch16_NA007	Ch16_NA061	6.0	67.0 %
Ch16_NA007	Ch16_NA062	5.5	54.9 %
Ch16_NA007	Ch16_NA063	5.9	48.7 %
Ch16_NA007	Ch16_NA066	5.7	50.1 %
Ch16_NA007	Ch16_NA000	2.3	81.7 %
Ch16_NA007	Ch16_NA001	2.2	89.2 %
Ch16_NA007	Ch16_NA002	1.8	95.8 %
Ch16_NA007	Ch16_NA003	1.8	93.7 %
Ch16_NA007	Ch16_NA004	1.8	94.4 %
Ch16_NA007	Ch16_NA005	1.8	91.3 %
Ch16_NA007	Ch16_NA006	1.8	90.0 %

Ch16_NA007	Ch16_NA028	2.1	95.0 %
Ch16_NA007	Ch16_NA025	2.5	93.0 %
Ch16_NA007	Ch16_NA022	3.1	88.5 %
Ch16_NA007	Ch16_NA021	2.7	92.1 %
Ch16_NA007	Ch16_NA024	3.1	91.2 %
Ch16_NA007	Ch16_NA020	2.9	78.1 %
Ch16_NA007	Ch16_NA043	3.7	62.0 %
Ch16_NA007	Ch16_NA042	3.4	85.3 %
Ch16_NA007	Ch16_NA034	3.7	74.5 %
Ch16_NA007	Ch16_NA041	4.1	62.5 %
Ch16_NA007	Ch16_NA033	3.6	74.3 %
Ch16_NA007	Ch16_NA035	4.2	73.3 %
Ch16_NA007	Ch16_NA036	4.3	57.5 %
Ch16_NA007	Ch16_NA040	4.5	61.4 %
Ch16_NA007	Ch16_NA039	4.6	70.1 %
Ch16_NA007	Ch16_NA038	4.9	56.2 %
Ch16_NA007	Ch16_NA011	2.6	86.5 %
Ch16_NA007	Ch16_NA017	3.4	84.5 %
Ch16_NA007	Ch16_NA013	3.6	68.1 %
Ch16_NA007	Ch16_NA016	4.5	67.8 %
Ch16_NA007	Ch16_NA008	2.4	73.0 %
Ch16_NA007	Ch16_NA046	5.8	58.2 %
Ch16_NA007	Ch16_NA031	3.3	60.4 %
Ch16_NA007	Ch16_NA023	4.9	67.2 %
Ch16_NA007	Ch16_NA045	5.9	56.0 %
Ch16_NA007	Ch16_NA009	1.9	78.4 %
Ch16_NA007	Ch16_NA015	5.1	68.1 %
Ch16_NA007	Ch16_NA030	2.7	74.0 %
Ch16_NA008	Ch16_NA047	5.0	72.2 %
Ch16_NA008	Ch16_NA056	5.6	63.6 %
Ch16_NA008	Ch16_NA060	6.7	62.1 %
Ch16_NA008	Ch16_NA000	2.4	63.1 %
Ch16_NA008	Ch16_NA001	2.0	70.2 %
Ch16_NA008	Ch16_NA002	2.0	75.8 %
Ch16_NA008	Ch16_NA003	1.9	74.6 %
Ch16_NA008	Ch16_NA004	2.2	72.5 %
Ch16_NA008	Ch16_NA006	2.2	69.3 %
Ch16_NA008	Ch16_NA011	1.7	89.7 %
Ch16_NA008	Ch16_NA013	2.1	85.7 %

Ch16_NA008	Ch16_NA021	2.0	90.3 %
Ch16_NA008	Ch16_NA025	1.9	89.5 %
Ch16_NA008	Ch16_NA017	2.9	82.3 %
Ch16_NA008	Ch16_NA028	2.1	88.5 %
Ch16_NA008	Ch16_NA043	3.3	82.9 %
Ch16_NA008	Ch16_NA042	3.7	78.9 %
Ch16_NA008	Ch16_NA016	3.3	75.1 %
Ch16_NA008	Ch16_NA034	3.0	60.6 %
Ch16_NA008	Ch16_NA035	3.1	53.7 %
Ch16_NA008	Ch16_NA033	3.4	62.6 %
Ch16_NA008	Ch16_NA040	3.9	76.7 %
Ch16_NA008	Ch16_NA039	3.0	24.7 %
Ch16_NA008	Ch16_NA038	4.8	73.7 %
Ch16_NA008	Ch16_NA046	5.1	71.8 %
Ch16_NA008	Ch16_NA031	3.2	72.8 %
Ch16_NA008	Ch16_NA023	3.6	81.6 %
Ch16_NA008	Ch16_NA045	5.0	71.8 %
Ch16_NA008	Ch16_NA015	3.5	86.9 %
Ch16_NA008	Ch16_NA030	3.0	88.7 %
Ch16_NA008	Ch16_NA009	2.6	92.3 %
Ch16_NA009	Ch16_NA047	5.8	72.0 %
Ch16_NA009	Ch16_NA054	6.8	52.1 %
Ch16_NA009	Ch16_NA060	5.4	64.7 %
Ch16_NA009	Ch16_NA063	7.0	60.8 %
Ch16_NA009	Ch16_NA001	2.8	71.0 %
Ch16_NA009	Ch16_NA002	2.4	78.5 %
Ch16_NA009	Ch16_NA003	2.4	76.6 %
Ch16_NA009	Ch16_NA004	2.3	75.7 %
Ch16_NA009	Ch16_NA006	2.3	72.6 %
Ch16_NA009	Ch16_NA030	1.9	92.7 %
Ch16_NA009	Ch16_NA028	2.3	92.6 %
Ch16_NA009	Ch16_NA025	3.0	89.7 %
Ch16_NA009	Ch16_NA011	3.2	82.7 %
Ch16_NA009	Ch16_NA021	3.2	87.8 %
Ch16_NA009	Ch16_NA043	3.8	82.4 %
Ch16_NA009	Ch16_NA013	3.7	78.7 %
Ch16_NA009	Ch16_NA031	3.2	81.7 %
Ch16_NA009	Ch16_NA017	4.2	76.0 %
Ch16_NA009	Ch16_NA042	4.2	79.4 %

Ch16_NA009	Ch16_NA040	4.5	78.7 %
Ch16_NA009	Ch16_NA035	4.0	53.4 %
Ch16_NA009	Ch16_NA038	4.8	75.4 %
Ch16_NA009	Ch16_NA015	6.1	62.3 %
Ch16_NA009	Ch16_NA023	5.7	72.5 %
Ch16_NA009	Ch16_NA045	7.7	67.9 %
Ch16_NA009	Ch16_NA046	7.0	69.0 %
Ch16_NA010	Ch16_NA047	4.0	72.9 %
Ch16_NA010	Ch16_NA049	4.6	72.6 %
Ch16_NA010	Ch16_NA058	4.7	67.1 %
Ch16_NA010	Ch16_NA059	5.3	69.3 %
Ch16_NA010	Ch16_NA060	4.7	65.6 %
Ch16_NA010	Ch16_NA062	4.9	65.1 %
Ch16_NA010	Ch16_NA000	2.1	61.0 %
Ch16_NA010	Ch16_NA001	1.7	67.8 %
Ch16_NA010	Ch16_NA002	2.1	72.6 %
Ch16_NA010	Ch16_NA003	2.1	72.1 %
Ch16_NA010	Ch16_NA004	2.2	69.3 %
Ch16_NA010	Ch16_NA005	2.5	67.3 %
Ch16_NA010	Ch16_NA006	2.7	66.2 %
Ch16_NA010	Ch16_NA007	2.9	69.1 %
Ch16_NA010	Ch16_NA008	1.6	95.9 %
Ch16_NA010	Ch16_NA009	2.8	90.4 %
Ch16_NA010	Ch16_NA011	1.5	91.3 %
Ch16_NA010	Ch16_NA012	1.5	94.8 %
Ch16_NA010	Ch16_NA020	1.6	85.6 %
Ch16_NA010	Ch16_NA021	1.7	91.7 %
Ch16_NA010	Ch16_NA024	1.8	90.4 %
Ch16_NA010	Ch16_NA022	2.0	85.4 %
Ch16_NA010	Ch16_NA025	1.8	89.6 %
Ch16_NA010	Ch16_NA028	2.3	85.7 %
Ch16_NA010	Ch16_NA043	2.8	83.3 %
Ch16_NA010	Ch16_NA042	3.1	79.4 %
Ch16_NA010	Ch16_NA041	3.0	81.3 %
Ch16_NA010	Ch16_NA034	2.7	59.4 %
Ch16_NA010	Ch16_NA040	3.3	77.0 %
Ch16_NA010	Ch16_NA035	3.2	52.8 %
Ch16_NA010	Ch16_NA039	2.8	29.4 %
Ch16_NA010	Ch16_NA033	3.7	61.7 %

Ch16_NA010	Ch16_NA036	4.6	73.4 %
Ch16_NA010	Ch16_NA038	4.2	74.0 %
Ch16_NA010	Ch16_NA013	1.8	94.8 %
Ch16_NA010	Ch16_NA017	2.0	84.2 %
Ch16_NA010	Ch16_NA016	2.5	89.8 %
Ch16_NA010	Ch16_NA046	4.3	75.4 %
Ch16_NA010	Ch16_NA031	3.2	75.2 %
Ch16_NA010	Ch16_NA023	3.0	85.8 %
Ch16_NA010	Ch16_NA045	4.0	76.0 %
Ch16_NA010	Ch16_NA015	2.6	91.1 %
Ch16_NA010	Ch16_NA030	3.3	86.7 %
Ch16_NA012	Ch16_NA047	3.4	76.9 %
Ch16_NA012	Ch16_NA049	4.1	78.2 %
Ch16_NA012	Ch16_NA050	4.7	73.0 %
Ch16_NA012	Ch16_NA051	7.2	56.0 %
Ch16_NA012	Ch16_NA055	4.8	68.5 %
Ch16_NA012	Ch16_NA056	4.5	72.9 %
Ch16_NA012	Ch16_NA058	4.1	73.0 %
Ch16_NA012	Ch16_NA059	4.2	72.5 %
Ch16_NA012	Ch16_NA060	3.9	71.3 %
Ch16_NA012	Ch16_NA061	5.4	60.6 %
Ch16_NA012	Ch16_NA062	4.2	71.1 %
Ch16_NA012	Ch16_NA063	4.4	66.2 %
Ch16_NA012	Ch16_NA066	6.3	43.9 %
Ch16_NA012	Ch16_NA000	2.0	97.2 %
Ch16_NA012	Ch16_NA001	1.8	97.3 %
Ch16_NA012	Ch16_NA002	1.9	96.1 %
Ch16_NA012	Ch16_NA003	1.8	97.0 %
Ch16_NA012	Ch16_NA004	2.0	95.6 %
Ch16_NA012	Ch16_NA005	1.9	95.0 %
Ch16_NA012	Ch16_NA006	2.0	95.0 %
Ch16_NA012	Ch16_NA007	2.2	94.5 %
Ch16_NA012	Ch16_NA008	1.7	93.6 %
Ch16_NA012	Ch16_NA009	2.6	91.8 %
Ch16_NA012	Ch16_NA011	2.0	84.2 %
Ch16_NA012	Ch16_NA021	1.4	95.1 %
Ch16_NA012	Ch16_NA025	1.5	96.2 %
Ch16_NA012	Ch16_NA024	1.6	93.9 %
Ch16_NA012	Ch16_NA022	1.8	95.0 %

Ch16_NA012	Ch16_NA028	1.8	93.9 %
Ch16_NA012	Ch16_NA020	1.6	96.9 %
Ch16_NA012	Ch16_NA043	2.3	86.5 %
Ch16_NA012	Ch16_NA042	2.5	83.0 %
Ch16_NA012	Ch16_NA041	2.6	83.6 %
Ch16_NA012	Ch16_NA034	2.2	85.3 %
Ch16_NA012	Ch16_NA040	2.8	82.1 %
Ch16_NA012	Ch16_NA035	2.6	81.9 %
Ch16_NA012	Ch16_NA039	3.1	77.1 %
Ch16_NA012	Ch16_NA033	2.7	83.9 %
Ch16_NA012	Ch16_NA036	3.2	76.2 %
Ch16_NA012	Ch16_NA038	3.2	75.4 %
Ch16_NA012	Ch16_NA017	2.1	83.0 %
Ch16_NA012	Ch16_NA013	2.1	93.4 %
Ch16_NA012	Ch16_NA016	2.5	92.1 %
Ch16_NA012	Ch16_NA046	3.9	80.2 %
Ch16_NA012	Ch16_NA031	2.6	81.0 %
Ch16_NA012	Ch16_NA023	2.7	90.3 %
Ch16_NA012	Ch16_NA045	3.6	80.4 %
Ch16_NA012	Ch16_NA015	2.8	91.4 %
Ch16_NA012	Ch16_NA030	2.8	90.9 %
Ch16_NA013	Ch16_NA011	1.7	93.7 %
Ch16_NA013	Ch16_NA039	3.5	23.1 %
Ch16_NA014	Ch16_NA047	4.7	59.7 %
Ch16_NA014	Ch16_NA049	5.3	54.2 %
Ch16_NA014	Ch16_NA050	5.8	50.8 %
Ch16_NA014	Ch16_NA051	6.2	54.0 %
Ch16_NA014	Ch16_NA058	6.4	49.1 %
Ch16_NA014	Ch16_NA059	6.3	49.3 %
Ch16_NA014	Ch16_NA000	3.9	72.1 %
Ch16_NA014	Ch16_NA001	3.3	71.5 %
Ch16_NA014	Ch16_NA002	3.5	69.7 %
Ch16_NA014	Ch16_NA003	3.6	68.9 %
Ch16_NA014	Ch16_NA004	3.6	69.9 %
Ch16_NA014	Ch16_NA005	3.9	67.2 %
Ch16_NA014	Ch16_NA006	3.9	68.8 %
Ch16_NA014	Ch16_NA007	3.7	69.5 %
Ch16_NA014	Ch16_NA008	3.0	69.3 %
Ch16_NA014	Ch16_NA009	4.8	62.4 %

Ch16_NA014	Ch16_NA010	2.9	70.2 %
Ch16_NA014	Ch16_NA011	2.5	73.5 %
Ch16_NA014	Ch16_NA012	3.3	67.1 %
Ch16_NA014	Ch16_NA013	2.2	82.1 %
Ch16_NA014	Ch16_NA015	1.9	93.9 %
Ch16_NA014	Ch16_NA017	2.2	80.5 %
Ch16_NA014	Ch16_NA018	2.1	79.9 %
Ch16_NA014	Ch16_NA016	2.2	83.1 %
Ch16_NA014	Ch16_NA022	3.0	72.9 %
Ch16_NA014	Ch16_NA021	2.9	70.0 %
Ch16_NA014	Ch16_NA019	2.8	74.1 %
Ch16_NA014	Ch16_NA024	3.2	67.1 %
Ch16_NA014	Ch16_NA020	2.6	73.9 %
Ch16_NA014	Ch16_NA023	3.0	71.6 %
Ch16_NA014	Ch16_NA043	3.9	63.0 %
Ch16_NA014	Ch16_NA045	3.9	63.2 %
Ch16_NA014	Ch16_NA025	3.7	65.9 %
Ch16_NA014	Ch16_NA042	4.6	63.5 %
Ch16_NA014	Ch16_NA026	4.1	63.5 %
Ch16_NA014	Ch16_NA027	4.3	62.8 %
Ch16_NA014	Ch16_NA028	3.9	64.1 %
Ch16_NA014	Ch16_NA034	4.9	61.2 %
Ch16_NA014	Ch16_NA041	5.0	60.6 %
Ch16_NA014	Ch16_NA046	4.7	58.7 %
Ch16_NA014	Ch16_NA032	4.9	60.1 %
Ch16_NA014	Ch16_NA035	5.5	59.0 %
Ch16_NA014	Ch16_NA029	4.4	62.7 %
Ch16_NA014	Ch16_NA040	5.2	57.4 %
Ch16_NA014	Ch16_NA036	6.0	51.6 %
Ch16_NA014	Ch16_NA038	5.5	52.6 %
Ch16_NA014	Ch16_NA033	5.4	57.4 %
Ch16_NA014	Ch16_NA031	5.3	54.4 %
Ch16_NA014	Ch16_NA030	5.1	58.8 %
Ch16_NA015	Ch16_NA047	3.9	82.4 %
Ch16_NA015	Ch16_NA056	6.6	64.3 %
Ch16_NA015	Ch16_NA001	3.5	65.2 %
Ch16_NA015	Ch16_NA003	3.8	70.2 %
Ch16_NA015	Ch16_NA004	4.2	66.6 %
Ch16_NA015	Ch16_NA006	4.2	65.6 %

Ch16_NA015	Ch16_NA011	2.8	89.4 %
Ch16_NA015	Ch16_NA013	2.0	96.2 %
Ch16_NA015	Ch16_NA021	2.2	94.8 %
Ch16_NA015	Ch16_NA025	3.1	89.9 %
Ch16_NA015	Ch16_NA043	3.1	91.1 %
Ch16_NA015	Ch16_NA045	3.3	81.2 %
Ch16_NA015	Ch16_NA028	4.2	83.4 %
Ch16_NA015	Ch16_NA035	4.6	52.9 %
Ch16_NA015	Ch16_NA046	4.0	80.0 %
Ch16_NA015	Ch16_NA040	4.0	81.0 %
Ch16_NA015	Ch16_NA038	4.7	79.4 %
Ch16_NA015	Ch16_NA031	5.0	78.6 %
Ch16_NA016	Ch16_NA047	3.1	86.4 %
Ch16_NA016	Ch16_NA056	5.1	62.3 %
Ch16_NA016	Ch16_NA060	6.3	70.0 %
Ch16_NA016	Ch16_NA001	2.7	64.9 %
Ch16_NA016	Ch16_NA002	3.6	70.7 %
Ch16_NA016	Ch16_NA003	3.1	70.5 %
Ch16_NA016	Ch16_NA004	3.6	66.9 %
Ch16_NA016	Ch16_NA006	4.1	65.4 %
Ch16_NA016	Ch16_NA009	5.3	69.4 %
Ch16_NA016	Ch16_NA011	2.6	86.3 %
Ch16_NA016	Ch16_NA013	1.9	92.8 %
Ch16_NA016	Ch16_NA015	1.8	96.5 %
Ch16_NA016	Ch16_NA017	1.4	98.0 %
Ch16_NA016	Ch16_NA021	2.0	95.9 %
Ch16_NA016	Ch16_NA043	2.3	94.2 %
Ch16_NA016	Ch16_NA025	2.6	91.3 %
Ch16_NA016	Ch16_NA042	2.8	89.8 %
Ch16_NA016	Ch16_NA039	3.8	26.1 %
Ch16_NA016	Ch16_NA028	3.6	84.4 %
Ch16_NA016	Ch16_NA035	3.3	54.3 %
Ch16_NA016	Ch16_NA040	3.2	85.0 %
Ch16_NA016	Ch16_NA038	3.8	83.1 %
Ch16_NA016	Ch16_NA046	3.3	72.2 %
Ch16_NA016	Ch16_NA031	4.2	64.1 %
Ch16_NA016	Ch16_NA023	2.0	88.9 %
Ch16_NA016	Ch16_NA045	2.7	77.0 %
Ch16_NA016	Ch16_NA030	5.1	66.6 %
Ch16_NA017	Ch16_NA047	3.0	78.8 %

Ch16_NA017	Ch16_NA054	5.1	60.9 %
Ch16_NA017	Ch16_NA056	5.0	67.2 %
Ch16_NA017	Ch16_NA060	5.3	64.9 %
Ch16_NA017	Ch16_NA063	5.0	59.9 %
Ch16_NA017	Ch16_NA001	2.2	86.6 %
Ch16_NA017	Ch16_NA003	2.8	84.8 %
Ch16_NA017	Ch16_NA004	3.0	84.8 %
Ch16_NA017	Ch16_NA006	3.4	83.9 %
Ch16_NA017	Ch16_NA011	2.1	84.7 %
Ch16_NA017	Ch16_NA013	1.6	94.5 %
Ch16_NA017	Ch16_NA015	1.8	98.1 %
Ch16_NA017	Ch16_NA021	1.9	87.0 %
Ch16_NA017	Ch16_NA025	2.4	82.1 %
Ch16_NA017	Ch16_NA043	2.6	79.9 %
Ch16_NA017	Ch16_NA042	2.9	81.4 %
Ch16_NA017	Ch16_NA028	3.1	78.4 %
Ch16_NA017	Ch16_NA039	4.3	70.6 %
Ch16_NA017	Ch16_NA035	3.7	75.2 %
Ch16_NA017	Ch16_NA040	3.5	72.6 %
Ch16_NA017	Ch16_NA038	4.0	67.3 %
Ch16_NA017	Ch16_NA046	3.4	76.6 %
Ch16_NA017	Ch16_NA031	3.9	69.0 %
Ch16_NA017	Ch16_NA023	2.1	91.1 %
Ch16_NA017	Ch16_NA045	2.9	79.7 %
Ch16_NA018	Ch16_NA047	3.5	82.7 %
Ch16_NA018	Ch16_NA049	4.3	69.0 %
Ch16_NA018	Ch16_NA050	4.9	64.2 %
Ch16_NA018	Ch16_NA056	5.1	66.0 %
Ch16_NA018	Ch16_NA058	4.8	64.6 %
Ch16_NA018	Ch16_NA059	5.5	76.2 %
Ch16_NA018	Ch16_NA060	6.8	69.6 %
Ch16_NA018	Ch16_NA062	5.2	63.8 %
Ch16_NA018	Ch16_NA000	2.4	64.8 %
Ch16_NA018	Ch16_NA001	2.0	71.0 %
Ch16_NA018	Ch16_NA002	2.8	76.9 %
Ch16_NA018	Ch16_NA003	2.6	76.5 %
Ch16_NA018	Ch16_NA004	2.6	72.8 %
Ch16_NA018	Ch16_NA005	3.0	71.6 %
Ch16_NA018	Ch16_NA006	3.0	71.1 %

Ch16_NA018	Ch16_NA007	3.5	74.3 %
Ch16_NA018	Ch16_NA008	2.2	81.0 %
Ch16_NA018	Ch16_NA009	3.9	73.7 %
Ch16_NA018	Ch16_NA010	1.7	96.5 %
Ch16_NA018	Ch16_NA011	1.8	94.1 %
Ch16_NA018	Ch16_NA012	1.9	95.3 %
Ch16_NA018	Ch16_NA013	1.4	97.1 %
Ch16_NA018	Ch16_NA015	2.0	92.7 %
Ch16_NA018	Ch16_NA016	1.9	90.8 %
Ch16_NA018	Ch16_NA017	1.5	97.9 %
Ch16_NA018	Ch16_NA019	1.7	92.9 %
Ch16_NA018	Ch16_NA020	1.6	94.7 %
Ch16_NA018	Ch16_NA022	1.7	94.7 %
Ch16_NA018	Ch16_NA021	1.5	96.5 %
Ch16_NA018	Ch16_NA024	1.6	94.6 %
Ch16_NA018	Ch16_NA025	2.1	92.2 %
Ch16_NA018	Ch16_NA026	2.2	90.7 %
Ch16_NA018	Ch16_NA043	2.6	89.8 %
Ch16_NA018	Ch16_NA028	2.7	88.1 %
Ch16_NA018	Ch16_NA042	3.1	87.4 %
Ch16_NA018	Ch16_NA034	2.8	65.8 %
Ch16_NA018	Ch16_NA032	2.9	71.5 %
Ch16_NA018	Ch16_NA041	3.2	86.9 %
Ch16_NA018	Ch16_NA035	3.0	58.3 %
Ch16_NA018	Ch16_NA039	3.2	28.7 %
Ch16_NA018	Ch16_NA040	3.4	83.2 %
Ch16_NA018	Ch16_NA036	4.7	79.3 %
Ch16_NA018	Ch16_NA033	3.5	70.3 %
Ch16_NA018	Ch16_NA038	4.1	80.6 %
Ch16_NA018	Ch16_NA046	4.0	71.0 %
Ch16_NA018	Ch16_NA031	3.7	66.1 %
Ch16_NA018	Ch16_NA023	2.6	84.2 %
Ch16_NA018	Ch16_NA045	3.5	71.8 %
Ch16_NA018	Ch16_NA030	4.1	71.0 %
Ch16_NA019	Ch16_NA047	3.0	86.7 %
Ch16_NA019	Ch16_NA049	3.6	71.6 %
Ch16_NA019	Ch16_NA050	4.2	66.5 %
Ch16_NA019	Ch16_NA051	6.5	62.5 %
Ch16_NA019	Ch16_NA054	4.7	63.4 %
Ch16_NA019	Ch16_NA055	4.5	65.6 %

Ch16_NA019	Ch16_NA056	4.3	70.1 %
Ch16_NA019	Ch16_NA058	4.1	67.6 %
Ch16_NA019	Ch16_NA059	4.5	80.8 %
Ch16_NA019	Ch16_NA060	4.5	66.2 %
Ch16_NA019	Ch16_NA062	4.5	67.2 %
Ch16_NA019	Ch16_NA063	4.6	61.0 %
Ch16_NA019	Ch16_NA066	6.8	55.3 %
Ch16_NA019	Ch16_NA000	2.2	69.1 %
Ch16_NA019	Ch16_NA001	2.0	75.4 %
Ch16_NA019	Ch16_NA002	2.4	81.0 %
Ch16_NA019	Ch16_NA003	2.2	81.2 %
Ch16_NA019	Ch16_NA004	2.6	77.4 %
Ch16_NA019	Ch16_NA005	2.7	76.2 %
Ch16_NA019	Ch16_NA006	3.0	75.3 %
Ch16_NA019	Ch16_NA007	2.7	85.3 %
Ch16_NA019	Ch16_NA008	2.2	77.1 %
Ch16_NA019	Ch16_NA009	3.7	72.7 %
Ch16_NA019	Ch16_NA010	1.7	78.1 %
Ch16_NA019	Ch16_NA011	2.2	90.1 %
Ch16_NA019	Ch16_NA012	1.6	97.2 %
Ch16_NA019	Ch16_NA013	2.0	84.3 %
Ch16_NA019	Ch16_NA015	2.1	85.5 %
Ch16_NA019	Ch16_NA016	1.9	86.0 %
Ch16_NA019	Ch16_NA017	1.6	95.2 %
Ch16_NA019	Ch16_NA022	1.6	87.0 %
Ch16_NA019	Ch16_NA021	1.4	98.5 %
Ch16_NA019	Ch16_NA024	1.5	96.9 %
Ch16_NA019	Ch16_NA025	1.8	78.5 %
Ch16_NA019	Ch16_NA028	2.2	76.1 %
Ch16_NA019	Ch16_NA020	1.7	91.1 %
Ch16_NA019	Ch16_NA043	2.3	74.3 %
Ch16_NA019	Ch16_NA042	2.6	91.0 %
Ch16_NA019	Ch16_NA034	2.4	80.0 %
Ch16_NA019	Ch16_NA041	2.7	70.1 %
Ch16_NA019	Ch16_NA032	2.5	80.2 %
Ch16_NA019	Ch16_NA040	2.9	70.7 %
Ch16_NA019	Ch16_NA035	2.8	77.2 %
Ch16_NA019	Ch16_NA039	3.5	74.1 %
Ch16_NA019	Ch16_NA033	3.0	78.6 %

Ch16_NA019	Ch16_NA036	3.6	66.1 %
Ch16_NA019	Ch16_NA038	3.4	65.7 %
Ch16_NA019	Ch16_NA046	3.3	72.1 %
Ch16_NA019	Ch16_NA031	3.1	66.0 %
Ch16_NA019	Ch16_NA023	2.3	84.3 %
Ch16_NA019	Ch16_NA045	3.0	71.5 %
Ch16_NA019	Ch16_NA030	3.9	70.1 %
Ch16_NA020	Ch16_NA047	3.6	81.5 %
Ch16_NA020	Ch16_NA050	4.8	65.8 %
Ch16_NA020	Ch16_NA056	4.8	68.6 %
Ch16_NA020	Ch16_NA060	4.5	65.3 %
Ch16_NA020	Ch16_NA063	4.8	59.9 %
Ch16_NA020	Ch16_NA000	1.8	70.0 %
Ch16_NA020	Ch16_NA001	1.9	76.3 %
Ch16_NA020	Ch16_NA002	2.1	81.6 %
Ch16_NA020	Ch16_NA003	2.0	81.4 %
Ch16_NA020	Ch16_NA004	2.3	77.6 %
Ch16_NA020	Ch16_NA006	2.5	74.6 %
Ch16_NA020	Ch16_NA008	1.9	85.0 %
Ch16_NA020	Ch16_NA009	3.1	81.2 %
Ch16_NA020	Ch16_NA011	1.9	91.4 %
Ch16_NA020	Ch16_NA013	1.7	88.9 %
Ch16_NA020	Ch16_NA015	2.4	86.5 %
Ch16_NA020	Ch16_NA016	2.2	85.9 %
Ch16_NA020	Ch16_NA017	1.9	91.9 %
Ch16_NA020	Ch16_NA021	1.5	96.9 %
Ch16_NA020	Ch16_NA025	1.7	93.5 %
Ch16_NA020	Ch16_NA028	2.1	91.1 %
Ch16_NA020	Ch16_NA043	2.4	75.4 %
Ch16_NA020	Ch16_NA042	2.6	85.9 %
Ch16_NA020	Ch16_NA034	2.6	80.6 %
Ch16_NA020	Ch16_NA040	3.2	71.7 %
Ch16_NA020	Ch16_NA035	3.0	77.5 %
Ch16_NA020	Ch16_NA033	3.1	79.4 %
Ch16_NA020	Ch16_NA039	3.6	73.2 %
Ch16_NA020	Ch16_NA038	3.6	66.3 %
Ch16_NA020	Ch16_NA046	3.9	71.1 %
Ch16_NA020	Ch16_NA031	3.0	69.4 %
Ch16_NA020	Ch16_NA023	2.5	82.8 %

Ch16_NA020	Ch16_NA045	3.7	70.5 %
Ch16_NA020	Ch16_NA030	3.5	77.7 %
Ch16_NA021	Ch16_NA047	2.9	80.6 %
Ch16_NA021	Ch16_NA054	4.5	68.5 %
Ch16_NA021	Ch16_NA060	3.9	72.8 %
Ch16_NA021	Ch16_NA063	4.3	68.5 %
Ch16_NA021	Ch16_NA001	1.9	93.7 %
Ch16_NA021	Ch16_NA003	2.1	93.6 %
Ch16_NA021	Ch16_NA004	2.4	91.9 %
Ch16_NA021	Ch16_NA011	2.0	83.5 %
Ch16_NA021	Ch16_NA013	1.7	95.2 %
Ch16_NA021	Ch16_NA028	1.9	91.1 %
Ch16_NA021	Ch16_NA043	2.1	90.1 %
Ch16_NA021	Ch16_NA035	2.4	82.2 %
Ch16_NA021	Ch16_NA039	3.1	77.3 %
Ch16_NA021	Ch16_NA038	3.0	77.8 %
Ch16_NA021	Ch16_NA046	3.4	84.1 %
Ch16_NA022	Ch16_NA047	2.4	87.1 %
Ch16_NA022	Ch16_NA050	3.8	74.7 %
Ch16_NA022	Ch16_NA054	4.4	68.0 %
Ch16_NA022	Ch16_NA056	4.0	75.0 %
Ch16_NA022	Ch16_NA060	4.0	71.5 %
Ch16_NA022	Ch16_NA063	4.1	67.1 %
Ch16_NA022	Ch16_NA066	6.3	51.6 %
Ch16_NA022	Ch16_NA000	2.0	62.2 %
Ch16_NA022	Ch16_NA001	2.2	67.9 %
Ch16_NA022	Ch16_NA002	2.6	73.2 %
Ch16_NA022	Ch16_NA003	2.4	73.5 %
Ch16_NA022	Ch16_NA004	2.7	69.4 %
Ch16_NA022	Ch16_NA006	3.0	88.4 %
Ch16_NA022	Ch16_NA008	2.5	84.3 %
Ch16_NA022	Ch16_NA009	3.9	80.6 %
Ch16_NA022	Ch16_NA011	2.5	84.9 %
Ch16_NA022	Ch16_NA013	1.8	91.7 %
Ch16_NA022	Ch16_NA015	2.0	94.6 %
Ch16_NA022	Ch16_NA016	1.7	96.5 %
Ch16_NA022	Ch16_NA017	1.7	92.8 %
Ch16_NA022	Ch16_NA020	1.6	93.3 %
Ch16_NA022	Ch16_NA021	1.5	98.4 %

Ch16_NA022	Ch16_NA025	1.8	89.2 %
Ch16_NA022	Ch16_NA028	2.4	84.6 %
Ch16_NA022	Ch16_NA043	1.9	87.5 %
Ch16_NA022	Ch16_NA042	2.1	92.0 %
Ch16_NA022	Ch16_NA034	2.1	84.5 %
Ch16_NA022	Ch16_NA035	2.5	81.3 %
Ch16_NA022	Ch16_NA040	2.6	80.4 %
Ch16_NA022	Ch16_NA039	3.0	78.1 %
Ch16_NA022	Ch16_NA033	2.8	82.9 %
Ch16_NA022	Ch16_NA038	2.9	74.9 %
Ch16_NA022	Ch16_NA036	3.2	74.1 %
Ch16_NA022	Ch16_NA023	1.5	95.9 %
Ch16_NA022	Ch16_NA046	2.8	83.9 %
Ch16_NA022	Ch16_NA031	3.0	75.2 %
Ch16_NA022	Ch16_NA045	2.5	85.4 %
Ch16_NA022	Ch16_NA030	3.8	78.8 %
Ch16_NA023	Ch16_NA047	2.2	92.4 %
Ch16_NA023	Ch16_NA053	4.0	62.7 %
Ch16_NA023	Ch16_NA054	4.2	67.6 %
Ch16_NA023	Ch16_NA056	4.0	71.6 %
Ch16_NA023	Ch16_NA060	5.2	74.8 %
Ch16_NA023	Ch16_NA063	4.3	66.8 %
Ch16_NA023	Ch16_NA001	2.9	64.2 %
Ch16_NA023	Ch16_NA003	3.3	70.1 %
Ch16_NA023	Ch16_NA004	4.1	66.5 %
Ch16_NA023	Ch16_NA006	4.7	63.7 %
Ch16_NA023	Ch16_NA011	3.4	80.9 %
Ch16_NA023	Ch16_NA013	2.5	85.6 %
Ch16_NA023	Ch16_NA015	2.1	91.5 %
Ch16_NA023	Ch16_NA021	2.2	94.2 %
Ch16_NA023	Ch16_NA043	1.9	97.6 %
Ch16_NA023	Ch16_NA025	2.5	91.9 %
Ch16_NA023	Ch16_NA046	2.3	90.1 %
Ch16_NA023	Ch16_NA035	2.4	56.1 %
Ch16_NA023	Ch16_NA039	2.8	43.7 %
Ch16_NA023	Ch16_NA040	2.5	89.7 %
Ch16_NA023	Ch16_NA028	3.6	84.4 %
Ch16_NA023	Ch16_NA038	2.9	88.7 %
Ch16_NA023	Ch16_NA031	4.1	83.7 %

Ch16_NA023	Ch16_NA045	1.9	89.2 %
Ch16_NA024	Ch16_NA047	2.5	81.3 %
Ch16_NA024	Ch16_NA049	3.5	83.8 %
Ch16_NA024	Ch16_NA050	4.1	78.4 %
Ch16_NA024	Ch16_NA052	4.7	72.2 %
Ch16_NA024	Ch16_NA054	4.4	70.7 %
Ch16_NA024	Ch16_NA056	4.0	77.6 %
Ch16_NA024	Ch16_NA059	3.7	76.2 %
Ch16_NA024	Ch16_NA060	3.5	75.7 %
Ch16_NA024	Ch16_NA062	3.9	75.7 %
Ch16_NA024	Ch16_NA063	4.0	71.2 %
Ch16_NA024	Ch16_NA066	5.9	46.8 %
Ch16_NA024	Ch16_NA000	2.3	64.4 %
Ch16_NA024	Ch16_NA001	2.0	64.1 %
Ch16_NA024	Ch16_NA002	2.4	69.1 %
Ch16_NA024	Ch16_NA003	2.2	93.3 %
Ch16_NA024	Ch16_NA004	2.6	65.3 %
Ch16_NA024	Ch16_NA005	2.6	64.0 %
Ch16_NA024	Ch16_NA006	2.7	91.6 %
Ch16_NA024	Ch16_NA008	2.2	89.3 %
Ch16_NA024	Ch16_NA009	3.6	88.1 %
Ch16_NA024	Ch16_NA011	2.3	80.1 %
Ch16_NA024	Ch16_NA013	1.8	93.1 %
Ch16_NA024	Ch16_NA015	2.2	94.1 %
Ch16_NA024	Ch16_NA016	1.9	95.7 %
Ch16_NA024	Ch16_NA017	1.9	84.2 %
Ch16_NA024	Ch16_NA020	1.7	94.9 %
Ch16_NA024	Ch16_NA021	1.2	96.9 %
Ch16_NA024	Ch16_NA022	1.4	98.6 %
Ch16_NA024	Ch16_NA023	1.9	95.6 %
Ch16_NA024	Ch16_NA025	1.4	96.9 %
Ch16_NA024	Ch16_NA028	2.1	92.9 %
Ch16_NA024	Ch16_NA043	2.0	93.4 %
Ch16_NA024	Ch16_NA042	2.1	88.3 %
Ch16_NA024	Ch16_NA041	2.3	89.2 %
Ch16_NA024	Ch16_NA034	1.9	88.5 %
Ch16_NA024	Ch16_NA040	2.6	87.6 %
Ch16_NA024	Ch16_NA035	2.3	85.4 %
Ch16_NA024	Ch16_NA039	2.9	80.1 %

Ch16_NA024	Ch16_NA033	2.5	87.0 %
Ch16_NA024	Ch16_NA038	2.9	81.3 %
Ch16_NA024	Ch16_NA036	3.1	80.6 %
Ch16_NA024	Ch16_NA046	3.1	86.7 %
Ch16_NA024	Ch16_NA031	2.6	83.8 %
Ch16_NA024	Ch16_NA045	2.7	87.4 %
Ch16_NA024	Ch16_NA030	3.5	88.3 %
Ch16_NA025	Ch16_NA047	2.8	81.2 %
Ch16_NA025	Ch16_NA054	4.4	70.1 %
Ch16_NA025	Ch16_NA056	4.1	77.2 %
Ch16_NA025	Ch16_NA060	3.3	75.7 %
Ch16_NA025	Ch16_NA063	4.0	69.7 %
Ch16_NA025	Ch16_NA001	1.9	68.4 %
Ch16_NA025	Ch16_NA003	1.9	73.8 %
Ch16_NA025	Ch16_NA004	2.3	69.4 %
Ch16_NA025	Ch16_NA006	2.6	67.2 %
Ch16_NA025	Ch16_NA011	2.3	80.6 %
Ch16_NA025	Ch16_NA013	2.2	89.2 %
Ch16_NA025	Ch16_NA021	1.5	94.9 %
Ch16_NA025	Ch16_NA028	1.6	95.7 %
Ch16_NA025	Ch16_NA043	2.1	89.9 %
Ch16_NA025	Ch16_NA035	2.1	87.0 %
Ch16_NA025	Ch16_NA040	2.5	86.6 %
Ch16_NA025	Ch16_NA039	2.7	82.4 %
Ch16_NA025	Ch16_NA038	2.9	79.8 %
Ch16_NA025	Ch16_NA046	3.5	83.7 %
Ch16_NA025	Ch16_NA031	2.1	85.2 %
Ch16_NA025	Ch16_NA045	3.3	83.2 %
Ch16_NA026	Ch16_NA047	2.4	82.5 %
Ch16_NA026	Ch16_NA049	3.3	84.9 %
Ch16_NA026	Ch16_NA050	3.9	79.9 %
Ch16_NA026	Ch16_NA051	5.6	62.8 %
Ch16_NA026	Ch16_NA052	4.5	73.4 %
Ch16_NA026	Ch16_NA053	4.3	67.4 %
Ch16_NA026	Ch16_NA054	4.1	72.6 %
Ch16_NA026	Ch16_NA055	4.0	75.2 %
Ch16_NA026	Ch16_NA056	3.6	79.8 %
Ch16_NA026	Ch16_NA058	3.1	80.1 %
Ch16_NA026	Ch16_NA059	3.1	80.4 %
Ch16_NA026	Ch16_NA060	3.1	79.0 %

Ch16_NA026	Ch16_NA061	4.1	67.3 %
Ch16_NA026	Ch16_NA062	3.5	78.5 %
Ch16_NA026	Ch16_NA063	3.7	72.7 %
Ch16_NA026	Ch16_NA064	4.1	70.3 %
Ch16_NA026	Ch16_NA066	5.2	51.1 %
Ch16_NA026	Ch16_NA068	3.9	63.4 %
Ch16_NA026	Ch16_NA000	2.2	68.2 %
Ch16_NA026	Ch16_NA001	2.2	65.3 %
Ch16_NA026	Ch16_NA002	2.5	70.4 %
Ch16_NA026	Ch16_NA003	2.2	70.8 %
Ch16_NA026	Ch16_NA004	2.6	66.7 %
Ch16_NA026	Ch16_NA005	2.5	67.2 %
Ch16_NA026	Ch16_NA006	2.8	67.8 %
Ch16_NA026	Ch16_NA007	2.7	91.2 %
Ch16_NA026	Ch16_NA008	2.1	86.8 %
Ch16_NA026	Ch16_NA009	3.2	87.8 %
Ch16_NA026	Ch16_NA010	2.0	86.4 %
Ch16_NA026	Ch16_NA011	2.8	76.8 %
Ch16_NA026	Ch16_NA012	1.7	91.5 %
Ch16_NA026	Ch16_NA013	2.1	87.5 %
Ch16_NA026	Ch16_NA015	2.9	89.1 %
Ch16_NA026	Ch16_NA016	2.5	91.1 %
Ch16_NA026	Ch16_NA017	2.6	79.6 %
Ch16_NA026	Ch16_NA019	1.9	76.1 %
Ch16_NA026	Ch16_NA020	1.8	91.1 %
Ch16_NA026	Ch16_NA021	1.6	91.5 %
Ch16_NA026	Ch16_NA022	1.7	86.9 %
Ch16_NA026	Ch16_NA023	2.3	92.7 %
Ch16_NA026	Ch16_NA024	1.5	94.3 %
Ch16_NA026	Ch16_NA025	1.3	97.0 %
Ch16_NA026	Ch16_NA028	1.7	95.0 %
Ch16_NA026	Ch16_NA034	1.4	95.1 %
Ch16_NA026	Ch16_NA043	2.0	92.3 %
Ch16_NA026	Ch16_NA041	2.0	91.8 %
Ch16_NA026	Ch16_NA032	1.6	95.3 %
Ch16_NA026	Ch16_NA042	2.1	90.2 %
Ch16_NA026	Ch16_NA035	1.6	92.7 %
Ch16_NA026	Ch16_NA040	2.2	90.5 %
Ch16_NA026	Ch16_NA039	2.5	86.3 %

Ch16_NA026	Ch16_NA033	1.9	93.7 %
Ch16_NA026	Ch16_NA036	2.6	85.6 %
Ch16_NA026	Ch16_NA038	2.6	84.0 %
Ch16_NA026	Ch16_NA046	3.2	86.1 %
Ch16_NA026	Ch16_NA031	1.9	89.2 %
Ch16_NA026	Ch16_NA045	3.1	85.5 %
Ch16_NA026	Ch16_NA030	2.9	89.6 %
Ch16_NA027	Ch16_NA047	2.7	81.5 %
Ch16_NA027	Ch16_NA049	3.7	81.2 %
Ch16_NA027	Ch16_NA050	4.2	76.8 %
Ch16_NA027	Ch16_NA051	5.9	63.5 %
Ch16_NA027	Ch16_NA052	4.9	70.8 %
Ch16_NA027	Ch16_NA053	4.5	65.6 %
Ch16_NA027	Ch16_NA054	4.4	71.8 %
Ch16_NA027	Ch16_NA055	4.4	74.1 %
Ch16_NA027	Ch16_NA056	4.0	78.6 %
Ch16_NA027	Ch16_NA058	3.4	78.3 %
Ch16_NA027	Ch16_NA059	2.7	82.6 %
Ch16_NA027	Ch16_NA060	2.7	78.3 %
Ch16_NA027	Ch16_NA061	4.1	69.3 %
Ch16_NA027	Ch16_NA062	3.6	77.5 %
Ch16_NA027	Ch16_NA063	3.9	70.8 %
Ch16_NA027	Ch16_NA064	3.8	73.0 %
Ch16_NA027	Ch16_NA066	4.7	53.2 %
Ch16_NA027	Ch16_NA067	3.8	67.7 %
Ch16_NA027	Ch16_NA068	4.0	62.5 %
Ch16_NA027	Ch16_NA000	2.1	66.9 %
Ch16_NA027	Ch16_NA001	2.5	68.2 %
Ch16_NA027	Ch16_NA002	2.2	73.2 %
Ch16_NA027	Ch16_NA003	2.0	73.7 %
Ch16_NA027	Ch16_NA004	2.4	69.5 %
Ch16_NA027	Ch16_NA005	2.3	68.5 %
Ch16_NA027	Ch16_NA006	2.5	66.0 %
Ch16_NA027	Ch16_NA007	2.6	91.2 %
Ch16_NA027	Ch16_NA008	2.3	84.4 %
Ch16_NA027	Ch16_NA009	3.1	88.0 %
Ch16_NA027	Ch16_NA010	2.5	82.9 %
Ch16_NA027	Ch16_NA011	2.9	76.8 %
Ch16_NA027	Ch16_NA012	1.9	90.7 %
Ch16_NA027	Ch16_NA013	2.7	83.4 %

Ch16_NA027	Ch16_NA015	3.6	84.3 %
Ch16_NA027	Ch16_NA016	3.1	86.1 %
Ch16_NA027	Ch16_NA017	2.9	78.5 %
Ch16_NA027	Ch16_NA018	2.7	87.8 %
Ch16_NA027	Ch16_NA019	2.2	76.2 %
Ch16_NA027	Ch16_NA020	2.1	89.3 %
Ch16_NA027	Ch16_NA021	1.9	89.7 %
Ch16_NA027	Ch16_NA022	2.1	85.1 %
Ch16_NA027	Ch16_NA023	2.9	87.4 %
Ch16_NA027	Ch16_NA024	1.9	92.6 %
Ch16_NA027	Ch16_NA025	1.6	95.2 %
Ch16_NA027	Ch16_NA026	1.5	98.2 %
Ch16_NA027	Ch16_NA028	1.4	95.2 %
Ch16_NA027	Ch16_NA032	1.6	78.6 %
Ch16_NA027	Ch16_NA029	1.6	96.6 %
Ch16_NA027	Ch16_NA034	1.6	95.5 %
Ch16_NA027	Ch16_NA033	1.8	94.7 %
Ch16_NA027	Ch16_NA035	1.8	93.4 %
Ch16_NA027	Ch16_NA043	2.1	86.8 %
Ch16_NA027	Ch16_NA042	2.0	89.0 %
Ch16_NA027	Ch16_NA039	2.4	86.4 %
Ch16_NA027	Ch16_NA041	2.1	87.7 %
Ch16_NA027	Ch16_NA040	2.3	87.4 %
Ch16_NA027	Ch16_NA036	2.3	84.7 %
Ch16_NA027	Ch16_NA038	2.8	81.0 %
Ch16_NA027	Ch16_NA037	2.5	82.5 %
Ch16_NA027	Ch16_NA046	3.7	81.3 %
Ch16_NA027	Ch16_NA031	1.7	89.4 %
Ch16_NA027	Ch16_NA045	3.7	78.7 %
Ch16_NA027	Ch16_NA044	3.3	83.0 %
Ch16_NA027	Ch16_NA030	2.8	90.1 %
Ch16_NA028	Ch16_NA047	3.7	78.2 %
Ch16_NA028	Ch16_NA054	5.4	67.2 %
Ch16_NA028	Ch16_NA060	3.5	73.6 %
Ch16_NA028	Ch16_NA063	5.0	66.3 %
Ch16_NA028	Ch16_NA003	1.6	78.2 %
Ch16_NA028	Ch16_NA004	2.0	73.9 %
Ch16_NA028	Ch16_NA011	2.7	80.2 %
Ch16_NA028	Ch16_NA013	2.8	83.9 %

Ch16_NA028	Ch16_NA043	2.7	82.6 %
Ch16_NA028	Ch16_NA039	3.2	80.0 %
Ch16_NA028	Ch16_NA038	3.7	74.7 %
Ch16_NA028	Ch16_NA046	4.9	76.9 %
Ch16_NA029	Ch16_NA047	4.0	79.0 %
Ch16_NA029	Ch16_NA049	5.2	74.1 %
Ch16_NA029	Ch16_NA050	5.7	69.4 %
Ch16_NA029	Ch16_NA054	5.7	65.6 %
Ch16_NA029	Ch16_NA055	5.9	68.0 %
Ch16_NA029	Ch16_NA056	5.5	72.5 %
Ch16_NA029	Ch16_NA058	4.7	71.8 %
Ch16_NA029	Ch16_NA059	3.2	80.6 %
Ch16_NA029	Ch16_NA060	3.3	72.4 %
Ch16_NA029	Ch16_NA061	4.9	67.6 %
Ch16_NA029	Ch16_NA062	4.8	71.4 %
Ch16_NA029	Ch16_NA063	5.2	64.5 %
Ch16_NA029	Ch16_NA064	3.5	71.5 %
Ch16_NA029	Ch16_NA066	4.8	50.3 %
Ch16_NA029	Ch16_NA068	4.9	56.9 %
Ch16_NA029	Ch16_NA000	2.5	65.6 %
Ch16_NA029	Ch16_NA001	2.6	71.4 %
Ch16_NA029	Ch16_NA002	2.4	76.8 %
Ch16_NA029	Ch16_NA003	2.0	77.0 %
Ch16_NA029	Ch16_NA004	2.2	73.6 %
Ch16_NA029	Ch16_NA005	2.0	72.8 %
Ch16_NA029	Ch16_NA006	2.1	70.6 %
Ch16_NA029	Ch16_NA007	2.4	74.9 %
Ch16_NA029	Ch16_NA008	2.6	82.6 %
Ch16_NA029	Ch16_NA009	2.2	89.2 %
Ch16_NA029	Ch16_NA010	3.3	79.8 %
Ch16_NA029	Ch16_NA011	3.2	77.9 %
Ch16_NA029	Ch16_NA012	2.2	91.8 %
Ch16_NA029	Ch16_NA013	3.5	78.5 %
Ch16_NA029	Ch16_NA015	4.7	79.3 %
Ch16_NA029	Ch16_NA016	4.3	80.1 %
Ch16_NA029	Ch16_NA017	3.6	76.9 %
Ch16_NA029	Ch16_NA018	3.4	84.1 %
Ch16_NA029	Ch16_NA019	2.7	75.6 %
Ch16_NA029	Ch16_NA020	2.6	81.0 %

Ch16_NA029	Ch16_NA021	2.3	89.4 %
Ch16_NA029	Ch16_NA022	2.8	83.8 %
Ch16_NA029	Ch16_NA023	4.3	80.5 %
Ch16_NA029	Ch16_NA024	2.4	91.6 %
Ch16_NA029	Ch16_NA025	1.9	94.4 %
Ch16_NA029	Ch16_NA026	1.9	95.5 %
Ch16_NA029	Ch16_NA028	1.3	97.3 %
Ch16_NA029	Ch16_NA032	1.7	75.6 %
Ch16_NA029	Ch16_NA033	2.2	74.4 %
Ch16_NA029	Ch16_NA034	2.0	72.5 %
Ch16_NA029	Ch16_NA043	3.1	78.8 %
Ch16_NA029	Ch16_NA035	2.7	85.6 %
Ch16_NA029	Ch16_NA042	2.9	85.4 %
Ch16_NA029	Ch16_NA039	3.5	79.8 %
Ch16_NA029	Ch16_NA041	3.2	79.0 %
Ch16_NA029	Ch16_NA036	3.2	76.9 %
Ch16_NA029	Ch16_NA040	3.5	78.8 %
Ch16_NA029	Ch16_NA038	4.1	73.0 %
Ch16_NA029	Ch16_NA046	5.3	73.3 %
Ch16_NA029	Ch16_NA031	1.9	84.3 %
Ch16_NA029	Ch16_NA045	5.4	70.9 %
Ch16_NA029	Ch16_NA044	3.1	78.5 %
Ch16_NA029	Ch16_NA030	2.0	92.6 %
Ch16_NA030	Ch16_NA047	6.4	71.1 %
Ch16_NA030	Ch16_NA056	8.0	58.9 %
Ch16_NA030	Ch16_NA060	5.4	68.6 %
Ch16_NA030	Ch16_NA001	3.5	67.5 %
Ch16_NA030	Ch16_NA003	2.9	73.2 %
Ch16_NA030	Ch16_NA004	2.9	71.2 %
Ch16_NA030	Ch16_NA006	2.6	68.4 %
Ch16_NA030	Ch16_NA011	3.8	78.1 %
Ch16_NA030	Ch16_NA013	4.1	74.8 %
Ch16_NA030	Ch16_NA015	5.9	59.3 %
Ch16_NA030	Ch16_NA017	5.0	73.2 %
Ch16_NA030	Ch16_NA021	3.2	86.8 %
Ch16_NA030	Ch16_NA023	5.3	71.0 %
Ch16_NA030	Ch16_NA025	2.9	90.5 %
Ch16_NA030	Ch16_NA028	2.2	94.5 %
Ch16_NA030	Ch16_NA031	2.6	87.1 %

Ch16_NA030	Ch16_NA043	4.3	83.3 %
Ch16_NA030	Ch16_NA042	4.8	79.4 %
Ch16_NA030	Ch16_NA039	5.0	23.4 %
Ch16_NA030	Ch16_NA035	3.5	53.1 %
Ch16_NA030	Ch16_NA040	4.8	80.0 %
Ch16_NA030	Ch16_NA038	5.1	78.3 %
Ch16_NA030	Ch16_NA046	7.6	69.0 %
Ch16_NA030	Ch16_NA045	8.1	67.5 %
Ch16_NA031	Ch16_NA047	3.1	75.9 %
Ch16_NA031	Ch16_NA054	4.6	75.7 %
Ch16_NA031	Ch16_NA056	4.2	82.4 %
Ch16_NA031	Ch16_NA060	2.4	79.2 %
Ch16_NA031	Ch16_NA063	4.0	77.0 %
Ch16_NA031	Ch16_NA001	3.2	58.3 %
Ch16_NA031	Ch16_NA003	2.8	63.1 %
Ch16_NA031	Ch16_NA004	2.9	59.8 %
Ch16_NA031	Ch16_NA006	2.6	55.2 %
Ch16_NA031	Ch16_NA011	3.8	67.7 %
Ch16_NA031	Ch16_NA013	4.0	68.1 %
Ch16_NA031	Ch16_NA021	2.7	80.6 %
Ch16_NA031	Ch16_NA028	2.0	84.4 %
Ch16_NA031	Ch16_NA035	1.7	58.6 %
Ch16_NA031	Ch16_NA039	2.2	58.5 %
Ch16_NA031	Ch16_NA043	2.6	85.6 %
Ch16_NA031	Ch16_NA038	2.6	88.9 %
Ch16_NA031	Ch16_NA046	4.6	74.6 %
Ch16_NA031	Ch16_NA045	4.9	78.6 %
Ch16_NA032	Ch16_NA047	2.7	86.1 %
Ch16_NA032	Ch16_NA049	3.8	67.8 %
Ch16_NA032	Ch16_NA050	4.3	63.3 %
Ch16_NA032	Ch16_NA051	5.5	68.2 %
Ch16_NA032	Ch16_NA052	4.9	57.7 %
Ch16_NA032	Ch16_NA053	4.6	53.5 %
Ch16_NA032	Ch16_NA054	4.3	61.6 %
Ch16_NA032	Ch16_NA055	4.3	64.3 %
Ch16_NA032	Ch16_NA056	3.9	69.0 %
Ch16_NA032	Ch16_NA058	3.1	67.5 %
Ch16_NA032	Ch16_NA059	2.4	87.3 %
Ch16_NA032	Ch16_NA060	2.4	67.3 %

Ch16_NA032	Ch16_NA061	3.6	76.9 %
Ch16_NA032	Ch16_NA062	3.4	67.5 %
Ch16_NA032	Ch16_NA063	3.7	60.3 %
Ch16_NA032	Ch16_NA066	4.0	64.6 %
Ch16_NA032	Ch16_NA000	2.5	70.2 %
Ch16_NA032	Ch16_NA001	2.8	75.9 %
Ch16_NA032	Ch16_NA002	2.6	80.7 %
Ch16_NA032	Ch16_NA003	2.4	81.0 %
Ch16_NA032	Ch16_NA004	2.7	77.5 %
Ch16_NA032	Ch16_NA005	2.4	76.5 %
Ch16_NA032	Ch16_NA006	2.6	73.2 %
Ch16_NA032	Ch16_NA007	3.1	76.7 %
Ch16_NA032	Ch16_NA008	2.6	63.9 %
Ch16_NA032	Ch16_NA009	3.2	65.6 %
Ch16_NA032	Ch16_NA010	2.9	62.7 %
Ch16_NA032	Ch16_NA011	3.4	73.5 %
Ch16_NA032	Ch16_NA012	2.2	85.8 %
Ch16_NA032	Ch16_NA013	3.0	64.4 %
Ch16_NA032	Ch16_NA015	4.0	65.8 %
Ch16_NA032	Ch16_NA016	3.2	68.3 %
Ch16_NA032	Ch16_NA017	3.3	78.1 %
Ch16_NA032	Ch16_NA020	2.7	81.4 %
Ch16_NA032	Ch16_NA021	2.2	85.9 %
Ch16_NA032	Ch16_NA022	2.5	84.4 %
Ch16_NA032	Ch16_NA023	3.1	70.9 %
Ch16_NA032	Ch16_NA024	2.2	88.6 %
Ch16_NA032	Ch16_NA025	1.9	90.8 %
Ch16_NA032	Ch16_NA028	1.8	89.8 %
Ch16_NA032	Ch16_NA030	3.1	66.0 %
Ch16_NA032	Ch16_NA031	1.6	71.7 %
Ch16_NA032	Ch16_NA033	1.4	96.8 %
Ch16_NA032	Ch16_NA035	1.5	95.9 %
Ch16_NA032	Ch16_NA034	1.5	94.3 %
Ch16_NA032	Ch16_NA039	2.2	89.2 %
Ch16_NA032	Ch16_NA036	2.2	71.6 %
Ch16_NA032	Ch16_NA040	2.3	72.9 %
Ch16_NA032	Ch16_NA041	2.1	71.0 %
Ch16_NA032	Ch16_NA042	2.2	90.8 %
Ch16_NA032	Ch16_NA043	2.3	69.0 %

Ch16_NA032	Ch16_NA038	2.7	67.4 %
Ch16_NA032	Ch16_NA046	3.9	65.6 %
Ch16_NA032	Ch16_NA045	3.9	62.0 %
Ch16_NA033	Ch16_NA047	2.7	85.7 %
Ch16_NA033	Ch16_NA050	4.3	62.8 %
Ch16_NA033	Ch16_NA053	5.3	51.3 %
Ch16_NA033	Ch16_NA054	4.5	60.3 %
Ch16_NA033	Ch16_NA056	4.0	68.2 %
Ch16_NA033	Ch16_NA060	2.3	67.0 %
Ch16_NA033	Ch16_NA063	3.6	59.5 %
Ch16_NA033	Ch16_NA066	3.7	66.8 %
Ch16_NA033	Ch16_NA001	3.2	73.3 %
Ch16_NA033	Ch16_NA002	3.1	78.6 %
Ch16_NA033	Ch16_NA003	2.9	79.8 %
Ch16_NA033	Ch16_NA004	3.1	75.0 %
Ch16_NA033	Ch16_NA006	3.0	70.8 %
Ch16_NA033	Ch16_NA009	3.5	63.2 %
Ch16_NA033	Ch16_NA011	3.9	71.2 %
Ch16_NA033	Ch16_NA013	3.4	63.1 %
Ch16_NA033	Ch16_NA015	4.4	64.8 %
Ch16_NA033	Ch16_NA016	3.5	67.5 %
Ch16_NA033	Ch16_NA017	3.8	76.2 %
Ch16_NA033	Ch16_NA021	2.7	84.2 %
Ch16_NA033	Ch16_NA023	3.3	70.6 %
Ch16_NA033	Ch16_NA025	2.3	88.9 %
Ch16_NA033	Ch16_NA028	2.2	87.6 %
Ch16_NA033	Ch16_NA030	3.3	64.8 %
Ch16_NA033	Ch16_NA031	1.6	71.8 %
Ch16_NA033	Ch16_NA035	1.6	96.6 %
Ch16_NA033	Ch16_NA039	2.1	91.3 %
Ch16_NA033	Ch16_NA040	2.3	95.2 %
Ch16_NA033	Ch16_NA042	2.5	89.9 %
Ch16_NA033	Ch16_NA038	2.4	92.5 %
Ch16_NA033	Ch16_NA043	2.5	68.3 %
Ch16_NA033	Ch16_NA046	3.8	65.2 %
Ch16_NA033	Ch16_NA045	4.0	61.1 %
Ch16_NA034	Ch16_NA047	2.0	86.8 %
Ch16_NA034	Ch16_NA050	3.0	58.7 %
Ch16_NA034	Ch16_NA053	3.9	50.3 %
Ch16_NA034	Ch16_NA054	3.4	57.7 %

Ch16_NA034	Ch16_NA056	2.9	64.0 %
Ch16_NA034	Ch16_NA060	2.5	65.3 %
Ch16_NA034	Ch16_NA063	3.0	56.8 %
Ch16_NA034	Ch16_NA066	4.3	63.7 %
Ch16_NA034	Ch16_NA000	2.5	73.6 %
Ch16_NA034	Ch16_NA001	2.8	78.2 %
Ch16_NA034	Ch16_NA002	2.9	79.2 %
Ch16_NA034	Ch16_NA003	2.7	80.3 %
Ch16_NA034	Ch16_NA004	3.1	76.7 %
Ch16_NA034	Ch16_NA006	3.2	72.0 %
Ch16_NA034	Ch16_NA009	3.6	62.0 %
Ch16_NA034	Ch16_NA011	3.4	72.8 %
Ch16_NA034	Ch16_NA013	2.8	59.3 %
Ch16_NA034	Ch16_NA015	4.5	60.7 %
Ch16_NA034	Ch16_NA016	3.0	62.0 %
Ch16_NA034	Ch16_NA017	3.1	78.4 %
Ch16_NA034	Ch16_NA021	2.0	85.5 %
Ch16_NA034	Ch16_NA023	2.3	65.1 %
Ch16_NA034	Ch16_NA025	1.8	90.5 %
Ch16_NA034	Ch16_NA028	2.1	88.3 %
Ch16_NA034	Ch16_NA030	3.6	62.6 %
Ch16_NA034	Ch16_NA031	1.7	69.5 %
Ch16_NA034	Ch16_NA033	1.6	89.4 %
Ch16_NA034	Ch16_NA035	1.3	97.8 %
Ch16_NA034	Ch16_NA039	2.0	91.7 %
Ch16_NA034	Ch16_NA038	2.2	65.0 %
Ch16_NA034	Ch16_NA040	1.9	96.2 %
Ch16_NA034	Ch16_NA042	1.9	91.5 %
Ch16_NA034	Ch16_NA043	1.9	65.5 %
Ch16_NA034	Ch16_NA046	2.6	60.7 %
Ch16_NA034	Ch16_NA045	3.0	57.8 %
Ch16_NA035	Ch16_NA047	2.1	86.1 %
Ch16_NA035	Ch16_NA054	3.0	35.0 %
Ch16_NA035	Ch16_NA060	2.3	46.0 %
Ch16_NA035	Ch16_NA063	2.6	38.2 %
Ch16_NA035	Ch16_NA003	3.2	80.1 %
Ch16_NA035	Ch16_NA004	3.6	75.9 %
Ch16_NA035	Ch16_NA011	3.9	71.0 %
Ch16_NA035	Ch16_NA013	3.0	52.6 %

Ch16_NA035	Ch16_NA028	2.4	85.7 %
Ch16_NA035	Ch16_NA039	1.8	86.4 %
Ch16_NA035	Ch16_NA038	2.1	62.2 %
Ch16_NA035	Ch16_NA043	2.2	63.8 %
Ch16_NA035	Ch16_NA046	2.5	50.1 %
Ch16_NA036	Ch16_NA047	2.4	79.8 %
Ch16_NA036	Ch16_NA050	3.4	86.0 %
Ch16_NA036	Ch16_NA053	3.7	77.7 %
Ch16_NA036	Ch16_NA054	3.5	82.7 %
Ch16_NA036	Ch16_NA056	2.9	88.6 %
Ch16_NA036	Ch16_NA060	1.9	92.8 %
Ch16_NA036	Ch16_NA063	2.6	84.1 %
Ch16_NA036	Ch16_NA066	3.3	59.3 %
Ch16_NA036	Ch16_NA000	3.0	56.6 %
Ch16_NA036	Ch16_NA001	3.8	55.6 %
Ch16_NA036	Ch16_NA002	3.5	61.2 %
Ch16_NA036	Ch16_NA003	3.7	60.5 %
Ch16_NA036	Ch16_NA004	3.8	57.4 %
Ch16_NA036	Ch16_NA006	3.6	54.0 %
Ch16_NA036	Ch16_NA008	4.9	73.9 %
Ch16_NA036	Ch16_NA009	4.9	77.7 %
Ch16_NA036	Ch16_NA011	4.6	63.3 %
Ch16_NA036	Ch16_NA013	5.0	74.8 %
Ch16_NA036	Ch16_NA015	5.7	77.0 %
Ch16_NA036	Ch16_NA016	4.6	80.3 %
Ch16_NA036	Ch16_NA017	4.4	77.8 %
Ch16_NA036	Ch16_NA020	3.7	67.2 %
Ch16_NA036	Ch16_NA021	3.2	77.2 %
Ch16_NA036	Ch16_NA023	3.9	84.9 %
Ch16_NA036	Ch16_NA025	2.9	81.0 %
Ch16_NA036	Ch16_NA028	3.1	78.4 %
Ch16_NA036	Ch16_NA030	4.9	80.9 %
Ch16_NA036	Ch16_NA031	2.2	93.7 %
Ch16_NA036	Ch16_NA033	2.1	72.0 %
Ch16_NA036	Ch16_NA034	2.1	69.7 %
Ch16_NA036	Ch16_NA035	2.0	62.8 %
Ch16_NA036	Ch16_NA039	1.8	73.4 %
Ch16_NA036	Ch16_NA038	1.9	94.4 %
Ch16_NA036	Ch16_NA040	1.9	91.8 %

Ch16_NA036	Ch16_NA042	2.3	83.2 %
Ch16_NA036	Ch16_NA043	2.7	85.6 %
Ch16_NA036	Ch16_NA046	3.3	86.6 %
Ch16_NA036	Ch16_NA045	3.8	82.2 %
Ch16_NA037	Ch16_NA047	3.1	76.6 %
Ch16_NA037	Ch16_NA049	4.1	83.7 %
Ch16_NA037	Ch16_NA050	4.5	81.2 %
Ch16_NA037	Ch16_NA051	5.2	66.5 %
Ch16_NA037	Ch16_NA052	5.1	78.9 %
Ch16_NA037	Ch16_NA053	4.6	75.6 %
Ch16_NA037	Ch16_NA054	4.3	80.7 %
Ch16_NA037	Ch16_NA055	4.3	82.1 %
Ch16_NA037	Ch16_NA056	3.9	85.1 %
Ch16_NA037	Ch16_NA058	3.1	86.9 %
Ch16_NA037	Ch16_NA059	1.8	95.0 %
Ch16_NA037	Ch16_NA060	1.9	88.9 %
Ch16_NA037	Ch16_NA061	2.9	75.5 %
Ch16_NA037	Ch16_NA062	3.0	87.9 %
Ch16_NA037	Ch16_NA063	3.3	81.7 %
Ch16_NA037	Ch16_NA064	2.0	87.0 %
Ch16_NA037	Ch16_NA066	2.8	61.5 %
Ch16_NA037	Ch16_NA067	3.1	77.1 %
Ch16_NA037	Ch16_NA068	3.6	74.7 %
Ch16_NA037	Ch16_NA000	3.2	48.0 %
Ch16_NA037	Ch16_NA001	4.1	54.1 %
Ch16_NA037	Ch16_NA002	3.6	59.7 %
Ch16_NA037	Ch16_NA003	3.9	58.5 %
Ch16_NA037	Ch16_NA004	3.7	56.0 %
Ch16_NA037	Ch16_NA005	3.1	52.2 %
Ch16_NA037	Ch16_NA006	3.4	49.2 %
Ch16_NA037	Ch16_NA007	4.1	56.2 %
Ch16_NA037	Ch16_NA008	5.6	68.8 %
Ch16_NA037	Ch16_NA009	4.4	73.0 %
Ch16_NA037	Ch16_NA010	4.4	69.0 %
Ch16_NA037	Ch16_NA012	3.6	74.1 %
Ch16_NA037	Ch16_NA017	4.9	65.2 %
Ch16_NA037	Ch16_NA019	4.2	63.9 %
Ch16_NA037	Ch16_NA020	4.1	65.3 %
Ch16_NA037	Ch16_NA021	3.7	74.7 %

Ch16_NA037	Ch16_NA022	3.8	71.4 %
Ch16_NA037	Ch16_NA023	5.0	79.1 %
Ch16_NA037	Ch16_NA024	3.5	77.7 %
Ch16_NA037	Ch16_NA025	3.2	78.8 %
Ch16_NA037	Ch16_NA026	3.0	82.7 %
Ch16_NA037	Ch16_NA028	3.1	77.1 %
Ch16_NA037	Ch16_NA029	2.9	76.5 %
Ch16_NA037	Ch16_NA030	4.5	77.4 %
Ch16_NA037	Ch16_NA031	2.1	91.0 %
Ch16_NA037	Ch16_NA032	2.3	68.4 %
Ch16_NA037	Ch16_NA033	2.3	68.8 %
Ch16_NA037	Ch16_NA034	2.5	66.3 %
Ch16_NA037	Ch16_NA035	2.3	52.7 %
Ch16_NA037	Ch16_NA036	1.6	96.2 %
Ch16_NA037	Ch16_NA039	2.0	59.2 %
Ch16_NA037	Ch16_NA040	2.5	87.5 %
Ch16_NA037	Ch16_NA038	2.4	90.8 %
Ch16_NA037	Ch16_NA041	2.6	87.4 %
Ch16_NA037	Ch16_NA042	2.8	79.5 %
Ch16_NA037	Ch16_NA043	3.0	81.9 %
Ch16_NA037	Ch16_NA046	4.2	80.8 %
Ch16_NA037	Ch16_NA044	1.9	98.3 %
Ch16_NA037	Ch16_NA045	4.7	76.4 %
Ch16_NA038	Ch16_NA047	2.0	84.7 %
Ch16_NA038	Ch16_NA054	2.6	86.2 %
Ch16_NA038	Ch16_NA063	2.1	88.2 %
Ch16_NA038	Ch16_NA004	4.4	55.1 %
Ch16_NA038	Ch16_NA011	4.6	63.2 %
Ch16_NA038	Ch16_NA013	4.3	76.7 %
Ch16_NA038	Ch16_NA039	1.6	96.3 %
Ch16_NA038	Ch16_NA043	2.2	89.7 %
Ch16_NA039	Ch16_NA011	4.7	65.2 %
Ch16_NA040	Ch16_NA047	1.8	88.1 %
Ch16_NA040	Ch16_NA053	3.2	74.4 %
Ch16_NA040	Ch16_NA054	3.1	79.4 %
Ch16_NA040	Ch16_NA056	2.7	86.3 %
Ch16_NA040	Ch16_NA060	2.5	85.4 %
Ch16_NA040	Ch16_NA063	2.5	81.2 %
Ch16_NA040	Ch16_NA001	3.4	58.8 %

Ch16_NA040	Ch16_NA003	3.5	63.6 %
Ch16_NA040	Ch16_NA004	3.8	60.4 %
Ch16_NA040	Ch16_NA006	4.0	61.7 %
Ch16_NA040	Ch16_NA011	4.1	68.3 %
Ch16_NA040	Ch16_NA013	3.6	79.5 %
Ch16_NA040	Ch16_NA021	2.7	83.9 %
Ch16_NA040	Ch16_NA028	3.2	81.0 %
Ch16_NA040	Ch16_NA031	2.4	89.3 %
Ch16_NA040	Ch16_NA035	1.9	96.5 %
Ch16_NA040	Ch16_NA038	1.7	94.3 %
Ch16_NA040	Ch16_NA039	1.8	93.5 %
Ch16_NA040	Ch16_NA043	1.8	92.3 %
Ch16_NA040	Ch16_NA046	2.2	92.3 %
Ch16_NA040	Ch16_NA045	2.4	88.7 %
Ch16_NA041	Ch16_NA047	1.9	86.0 %
Ch16_NA041	Ch16_NA050	3.0	86.0 %
Ch16_NA041	Ch16_NA052	3.5	79.7 %
Ch16_NA041	Ch16_NA053	3.6	73.4 %
Ch16_NA041	Ch16_NA054	3.3	78.2 %
Ch16_NA041	Ch16_NA056	2.9	84.9 %
Ch16_NA041	Ch16_NA060	2.8	84.2 %
Ch16_NA041	Ch16_NA063	2.9	79.8 %
Ch16_NA041	Ch16_NA066	4.5	56.3 %
Ch16_NA041	Ch16_NA000	2.7	64.3 %
Ch16_NA041	Ch16_NA001	3.1	60.2 %
Ch16_NA041	Ch16_NA002	3.1	63.5 %
Ch16_NA041	Ch16_NA003	3.1	63.3 %
Ch16_NA041	Ch16_NA004	3.6	60.8 %
Ch16_NA041	Ch16_NA005	3.2	64.0 %
Ch16_NA041	Ch16_NA006	3.7	63.8 %
Ch16_NA041	Ch16_NA008	3.5	80.6 %
Ch16_NA041	Ch16_NA009	3.8	81.8 %
Ch16_NA041	Ch16_NA011	3.8	70.3 %
Ch16_NA041	Ch16_NA013	3.3	83.8 %
Ch16_NA041	Ch16_NA015	3.7	86.4 %
Ch16_NA041	Ch16_NA016	2.9	89.6 %
Ch16_NA041	Ch16_NA017	3.2	74.4 %
Ch16_NA041	Ch16_NA020	2.9	72.0 %
Ch16_NA041	Ch16_NA021	2.4	85.5 %

Ch16_NA041	Ch16_NA022	2.3	81.5 %
Ch16_NA041	Ch16_NA023	2.4	93.5 %
Ch16_NA041	Ch16_NA025	2.3	87.8 %
Ch16_NA041	Ch16_NA028	2.9	81.5 %
Ch16_NA041	Ch16_NA030	4.3	84.3 %
Ch16_NA041	Ch16_NA031	2.3	91.2 %
Ch16_NA041	Ch16_NA033	2.4	70.5 %
Ch16_NA041	Ch16_NA034	1.8	68.0 %
Ch16_NA041	Ch16_NA035	2.0	69.7 %
Ch16_NA041	Ch16_NA036	2.2	89.6 %
Ch16_NA041	Ch16_NA038	1.9	92.8 %
Ch16_NA041	Ch16_NA039	1.9	67.9 %
Ch16_NA041	Ch16_NA040	1.3	96.6 %
Ch16_NA041	Ch16_NA042	1.7	91.0 %
Ch16_NA041	Ch16_NA043	1.6	96.3 %
Ch16_NA041	Ch16_NA046	2.4	92.5 %
Ch16_NA041	Ch16_NA045	2.5	90.5 %
Ch16_NA042	Ch16_NA047	1.9	95.0 %
Ch16_NA042	Ch16_NA053	3.7	69.6 %
Ch16_NA042	Ch16_NA054	3.7	75.2 %
Ch16_NA042	Ch16_NA056	3.2	82.4 %
Ch16_NA042	Ch16_NA060	3.0	79.8 %
Ch16_NA042	Ch16_NA063	2.9	75.3 %
Ch16_NA042	Ch16_NA001	2.8	85.7 %
Ch16_NA042	Ch16_NA003	2.7	86.8 %
Ch16_NA042	Ch16_NA004	3.0	85.7 %
Ch16_NA042	Ch16_NA006	3.1	86.9 %
Ch16_NA042	Ch16_NA011	3.5	75.8 %
Ch16_NA042	Ch16_NA013	3.2	83.8 %
Ch16_NA042	Ch16_NA015	3.7	86.9 %
Ch16_NA042	Ch16_NA021	2.3	87.2 %
Ch16_NA042	Ch16_NA023	2.3	93.9 %
Ch16_NA042	Ch16_NA025	2.2	88.7 %
Ch16_NA042	Ch16_NA028	2.6	85.6 %
Ch16_NA042	Ch16_NA031	2.6	81.9 %
Ch16_NA042	Ch16_NA035	2.2	89.6 %
Ch16_NA042	Ch16_NA038	2.1	85.1 %
Ch16_NA042	Ch16_NA039	2.1	87.5 %
Ch16_NA042	Ch16_NA040	1.8	90.9 %

Ch16_NA042	Ch16_NA043	1.4	93.8 %
Ch16_NA042	Ch16_NA046	2.3	90.9 %
Ch16_NA042	Ch16_NA045	2.4	89.4 %
Ch16_NA043	Ch16_NA063	3.2	77.1 %
Ch16_NA043	Ch16_NA004	3.2	61.6 %
Ch16_NA043	Ch16_NA011	3.3	74.1 %
Ch16_NA043	Ch16_NA013	2.5	87.5 %
Ch16_NA043	Ch16_NA039	2.1	59.4 %
Ch16_NA044	Ch16_NA047	4.2	75.9 %
Ch16_NA044	Ch16_NA049	5.1	74.8 %
Ch16_NA044	Ch16_NA050	5.6	72.6 %
Ch16_NA044	Ch16_NA051	6.3	66.2 %
Ch16_NA044	Ch16_NA052	6.4	72.2 %
Ch16_NA044	Ch16_NA053	5.2	69.7 %
Ch16_NA044	Ch16_NA054	5.1	68.8 %
Ch16_NA044	Ch16_NA055	4.8	69.3 %
Ch16_NA044	Ch16_NA056	4.2	71.1 %
Ch16_NA044	Ch16_NA058	3.6	81.1 %
Ch16_NA044	Ch16_NA059	2.3	94.8 %
Ch16_NA044	Ch16_NA060	2.3	90.6 %
Ch16_NA044	Ch16_NA061	3.6	75.3 %
Ch16_NA044	Ch16_NA062	3.7	82.0 %
Ch16_NA044	Ch16_NA063	3.8	79.1 %
Ch16_NA044	Ch16_NA064	2.2	90.3 %
Ch16_NA044	Ch16_NA066	3.4	63.4 %
Ch16_NA044	Ch16_NA068	4.5	69.4 %
Ch16_NA044	Ch16_NA000	4.1	47.2 %
Ch16_NA044	Ch16_NA001	4.9	53.6 %
Ch16_NA044	Ch16_NA002	4.4	59.9 %
Ch16_NA044	Ch16_NA003	4.6	57.9 %
Ch16_NA044	Ch16_NA004	4.3	56.3 %
Ch16_NA044	Ch16_NA005	3.6	52.8 %
Ch16_NA044	Ch16_NA006	3.8	49.2 %
Ch16_NA044	Ch16_NA007	4.3	57.6 %
Ch16_NA044	Ch16_NA008	5.3	68.1 %
Ch16_NA044	Ch16_NA009	4.0	68.3 %
Ch16_NA044	Ch16_NA010	5.1	70.1 %
Ch16_NA044	Ch16_NA011	5.9	63.5 %
Ch16_NA044	Ch16_NA012	4.4	74.5 %
Ch16_NA044	Ch16_NA017	5.8	65.0 %

Ch16_NA044	Ch16_NA018	5.9	62.8 %
Ch16_NA044	Ch16_NA019	5.3	63.7 %
Ch16_NA044	Ch16_NA020	5.0	65.4 %
Ch16_NA044	Ch16_NA021	4.7	74.6 %
Ch16_NA044	Ch16_NA022	4.8	71.1 %
Ch16_NA044	Ch16_NA023	5.7	69.0 %
Ch16_NA044	Ch16_NA024	4.5	78.0 %
Ch16_NA044	Ch16_NA025	4.1	78.8 %
Ch16_NA044	Ch16_NA026	3.9	82.4 %
Ch16_NA044	Ch16_NA028	3.7	78.4 %
Ch16_NA044	Ch16_NA030	3.7	72.9 %
Ch16_NA044	Ch16_NA031	2.2	94.1 %
Ch16_NA044	Ch16_NA032	3.1	67.4 %
Ch16_NA044	Ch16_NA033	3.2	67.8 %
Ch16_NA044	Ch16_NA034	3.2	64.0 %
Ch16_NA044	Ch16_NA035	3.2	50.9 %
Ch16_NA044	Ch16_NA036	2.2	95.1 %
Ch16_NA044	Ch16_NA038	3.2	89.0 %
Ch16_NA044	Ch16_NA039	3.1	46.7 %
Ch16_NA044	Ch16_NA040	3.2	86.2 %
Ch16_NA044	Ch16_NA041	3.4	86.4 %
Ch16_NA044	Ch16_NA042	3.5	79.4 %
Ch16_NA044	Ch16_NA043	3.9	80.9 %
Ch16_NA044	Ch16_NA046	5.2	74.7 %
Ch16_NA044	Ch16_NA045	5.5	69.8 %
Ch16_NA045	Ch16_NA047	1.7	91.8 %
Ch16_NA045	Ch16_NA054	3.8	66.7 %
Ch16_NA045	Ch16_NA060	4.4	71.9 %
Ch16_NA045	Ch16_NA063	3.4	77.6 %
Ch16_NA045	Ch16_NA001	4.3	54.2 %
Ch16_NA045	Ch16_NA003	4.7	59.1 %
Ch16_NA045	Ch16_NA004	5.3	56.0 %
Ch16_NA045	Ch16_NA011	4.6	70.7 %
Ch16_NA045	Ch16_NA013	3.6	75.4 %
Ch16_NA045	Ch16_NA021	3.0	85.1 %
Ch16_NA045	Ch16_NA028	4.7	75.1 %
Ch16_NA045	Ch16_NA035	3.3	48.5 %
Ch16_NA045	Ch16_NA038	2.5	88.2 %
Ch16_NA045	Ch16_NA039	3.4	42.3 %

Ch16_NA045	Ch16_NA043	2.2	93.2 %
Ch16_NA045	Ch16_NA046	1.7	94.8 %
Ch16_NA046	Ch16_NA047	1.6	95.5 %
Ch16_NA046	Ch16_NA054	3.2	79.4 %
Ch16_NA046	Ch16_NA060	4.0	77.3 %
Ch16_NA046	Ch16_NA063	3.0	79.1 %
Ch16_NA046	Ch16_NA003	4.8	60.6 %
Ch16_NA046	Ch16_NA004	5.5	57.8 %
Ch16_NA046	Ch16_NA011	4.8	69.8 %
Ch16_NA046	Ch16_NA013	4.1	72.8 %
Ch16_NA046	Ch16_NA038	2.0	92.9 %
Ch16_NA046	Ch16_NA039	2.3	53.4 %
Ch16_NA046	Ch16_NA043	2.3	93.3 %

Inclinometer Mismatches

Cluster/Scan	Scan	Mismatch [deg]
Ch16_NA065	Ch16_NA065	0.0396
Ch16_NA048	Ch16_NA048	0.0146
Ch16_NA057	Ch16_NA057	0.0207
Ch16_NA014	Ch16_NA014	0.0162
Ch16_NA027	Ch16_NA027	0.0131
Ch16_NA037	Ch16_NA037	0.0137
Ch16_NA029	Ch16_NA029	0.0266
Ch16_NA067	Ch16_NA067	0.0073
Ch16_NA044	Ch16_NA044	0.0059
Ch16_NA018	Ch16_NA018	0.0058
Ch16_NA026	Ch16_NA026	0.0113
Ch16_NA068	Ch16_NA068	0.0070
Ch16_NA064	Ch16_NA064	0.0023
Ch16_NA019	Ch16_NA019	0.0057
Ch16_NA032	Ch16_NA032	0.0078
Ch16_NA010	Ch16_NA010	0.0130
Ch16_NA012	Ch16_NA012	0.0083
Ch16_NA058	Ch16_NA058	0.0069
Ch16_NA007	Ch16_NA007	0.0242
Ch16_NA051	Ch16_NA051	0.0486
Ch16_NA055	Ch16_NA055	0.0286
Ch16_NA061	Ch16_NA061	0.0033
Ch16_NA024	Ch16_NA024	0.0044
Ch16_NA049	Ch16_NA049	0.0271
Ch16_NA059	Ch16_NA059	0.0053
Ch16_NA062	Ch16_NA062	0.0130
Ch16_NA041	Ch16_NA041	0.0049
Ch16_NA005	Ch16_NA005	0.0192
Ch16_NA052	Ch16_NA052	0.0267
Ch16_NA022	Ch16_NA022	0.0037
Ch16_NA036	Ch16_NA036	0.0139
Ch16_NA020	Ch16_NA020	0.0025
Ch16_NA008	Ch16_NA008	0.0177
Ch16_NA034	Ch16_NA034	0.0030
Ch16_NA000	Ch16_NA000	0.0115
Ch16_NA033	Ch16_NA033	0.0212

Ch16_NA050	Ch16_NA050	0.0362
Ch16_NA016	Ch16_NA016	0.0125
Ch16_NA066	Ch16_NA066	0.0158
Ch16_NA009	Ch16_NA009	0.0401
Ch16_NA002	Ch16_NA002	0.0183
Ch16_NA030	Ch16_NA030	0.0482
Ch16_NA017	Ch16_NA017	0.0094
Ch16_NA042	Ch16_NA042	0.0107
Ch16_NA023	Ch16_NA023	0.0221
Ch16_NA015	Ch16_NA015	0.0223
Ch16_NA025	Ch16_NA025	0.0086
Ch16_NA040	Ch16_NA040	0.0090
Ch16_NA031	Ch16_NA031	0.0197
Ch16_NA056	Ch16_NA056	0.0209
Ch16_NA006	Ch16_NA006	0.0243
Ch16_NA053	Ch16_NA053	0.0189
Ch16_NA045	Ch16_NA045	0.0335
Ch16_NA021	Ch16_NA021	0.0079
Ch16_NA001	Ch16_NA001	0.0131
Ch16_NA035	Ch16_NA035	0.0047
Ch16_NA028	Ch16_NA028	0.0235
Ch16_NA046	Ch16_NA046	0.0282
Ch16_NA003	Ch16_NA003	0.0164
Ch16_NA060	Ch16_NA060	0.0134
Ch16_NA038	Ch16_NA038	0.0088
Ch16_NA047	Ch16_NA047	0.0197
Ch16_NA054	Ch16_NA054	0.0191
Ch16_NA043	Ch16_NA043	0.0074
Ch16_NA063	Ch16_NA063	0.0149
Ch16_NA004	Ch16_NA004	0.0279
Ch16_NA013	Ch16_NA013	0.0062
Ch16_NA039	Ch16_NA039	0.0046
Ch16_NA011	Ch16_NA011	0.0109